

Etude des plans d'eau du programme de surveillance des bassins Rhône Méditerranée et Corse - rapport de données brutes et interprétation

Retenue d'Alesani – suivi annuel 2013

Juillet 2014



Etude des plans d'eau du programme de surveillance des bassins Rhône Méditerranée et Corse - rapport de données brutes et interprétation

Retenue d'Alesani – suivi annuel 2013

Juillet 2014

Version	Date	Nom et signature du (des) rédacteur(s)	Nom et signature du vérificateur
V1	15 avril 2014	C. MAZOYER A. ROBE A. CORBARIEU	V. BOUCHAREYCHAS
V2	30 juillet 2014	C. MAZOYER	V. BOUCHAREYCHAS
V3	30 août 2014	C. MAZOYER	V. BOUCHAREYCHAS

Sommaire

1. PREAMBULE	5
1.1. Cadre du programme de suivi	5
1.2. Présentation du plan d'eau et localisation	6
1.3. Conditions climatiques 2013	7
2. CONTENU DU SUIVI 2013	7
2.1. Programme	7
2.2. Investigations physicochimiques	8
2.2.1. Mesures in situ	8
2.2.2. Prélèvements d'eau.....	9
2.2.3. Prélèvement de sédiment	9
2.2.4. Transfert et analyse des échantillons	9
2.3. Investigations biologiques	9
2.3.1. Phytoplancton	9
2.3.2. Invertébrés	10
3. RESULTATS DES INVESTIGATIONS	10
3.1. Investigations physicochimiques	10
3.1.1. Analyses des eaux du plan d'eau	10
3.1.1.1. Evolution de la hauteur d'eau	10
3.1.1.2. Profils verticaux et évolution saisonnières.....	11
3.1.1.3. Paramètres de constitution et typologie.....	13
3.1.1.4. Paramètres physicochimiques classiques.....	14
3.1.1.5. Micropolluants minéraux	15
3.1.1.6. Micropolluants organiques	15
3.1.2. Analyse de sédiments	16
3.1.2.1. Granulométrie	16
3.1.2.2. Physicochimie du sédiment.....	16
3.1.2.3. Micropolluants minéraux	17
3.1.2.4. Micropolluants organiques	17
3.2. Phytoplancton	18
3.2.1. Importance de la zone euphotique	18
3.2.2. Biomasse phytoplanctonique	18
3.2.3. Listes floristiques et densités	18
3.2.4. Evolution saisonnière des groupes algaux	20
3.3. Invertébrés	21
3.3.1. Conditions de prélèvements.....	21
3.3.2. IOBL : listes faunistiques et commentaires	22
4. INTERPRETATION GLOBALE DES RESULTATS	22

5. ANNEXES	24
5.1. Liste des micropolluants analysés dans l'eau	25
5.2. Liste des micropolluants analysés dans le sédiment	26
5.3. Compte-rendus des campagnes de prélèvements (physicochimie et phytoplancton)	27
5.4. invertébrés – rapport d’essai	28

1. PREAMBULE

1.1. CADRE DU PROGRAMME DE SUIVI

Dans le cadre de la mise en œuvre de la Directive Cadre européenne sur l'Eau (DCE), un programme de surveillance doit être établi pour suivre l'état écologique (ou le potentiel écologique) et l'état chimique des eaux douces de surface.

Différents réseaux constituent le programme de surveillance. Parmi ceux-ci, deux réseaux sont actuellement mis en œuvre sur les plans d'eau :

- Le réseau de contrôle de surveillance (RCS) vise à donner une image globale de la qualité des eaux. Tous les plans d'eau naturels supérieurs à 50 ha ont été pris en compte sur les bassins Rhône-Méditerranée et Corse. Pour les plans d'eau d'origine anthropique, une sélection a été opérée parmi les plans d'eau supérieurs à 50 ha, afin de couvrir au mieux les différents types présents (grandes retenues, plans d'eau de digue, plans d'eau de creusement).
- Le contrôle opérationnel (CO) a pour but de suivre spécifiquement les masses d'eau (naturelles ou anthropiques) supérieures à 50 ha, à risque de non atteinte du bon état (ou du bon potentiel) des eaux en 2015.

Au total, 80 plans d'eau sont suivis sur les bassins Rhône-Méditerranée et Corse dans le cadre de ces deux réseaux.

Le contenu du programme de suivi concernant les plans d'eau est identique pour le RCS et le CO. Un plan d'eau concerné par le CO sera cependant suivi à une fréquence plus soutenue (tous les 3 ans) par rapport à un plan d'eau suivi dans le cadre du RCS (tous les 6 ans).

Le tableau suivant résume les différents éléments suivis par année et les fréquences d'intervention associées. Il s'agit du suivi qualitatif type mis en place pour les plans d'eau du programme de surveillance. Les différents paramètres physicochimiques analysés dans l'eau sont suivis lors de quatre campagnes calées aux différentes phases du cycle annuel de fonctionnement du plan d'eau, soit entre le mois de février et le mois d'octobre.

		Paramètres	Type de prélèvements/ Mesures	HIVER	PRINTEMPS	ETE	AUTOMNE
Sur EAU	Mesures in situ	O2 dis. (mg/l, %sat.), pH, COND (25°C), T°C, transparence secchi	Profils verticaux	X	X	X	X
	Physico-chimie classique	DBO5, PO4, Ptot, NH4, NKJ, NO3, NO2, COT, COD, MEST, Turbidité, Si dissoute	Intégré	X	X	X	X
			Ponctuel de fond	X	X	X	X
	Substances prioritaires, autres substances et pesticides	Micropolluants sur eau*	Intégré	X	X	X	X
			Ponctuel de fond	X	X	X	X
	Pigments chlorophylliens	Chlorophylle a + phéopigments	Intégré	X	X	X	X
Ponctuel de fond							
Minéralisation	Ca ²⁺ , Na ⁺ , Mg ²⁺ , K ⁺ , dureté, TA, TAC, SO ₄ ²⁻ , Cl ⁻ , HCO ₃ ⁻	Intégré	X				
		Ponctuel de fond					
Sur SEDIMENTS	Eau interstitielle : Physico-chimie		PO4, Ptot, NH4				
	Phase solide (<2mm)	Physico-chimie	Corg., Ptot, NKJ, Granulométrie, perte au feu	Prélèvement au point de plus grande profondeur			X
		Substances prioritaires, autres substances et pesticides	Micropolluants sur sédiments*				
HYDROBIOLOGIE et HYDROMORPHOLOGIE		Phytoplancton	Prélèvement Intégré (Cemagref/Utermöhl)	X	X	X	X
		Invertébrés benthiques	Lac naturel : IBLsimplifié				X
			Retenues : IOBL (NF T90-391)				X
		Macrophytes	Norme XP T 90-328			X	
		Hydromorphologie	en charge de l'ONEMA			X	
		Suivi piscicole	Protocole CEN (en charge de l'ONEMA)			X	

* : se référer à l'annexe 5 de la circulaire du 29 janvier 2013 relative à l'application de l'arrêté du 25 janvier 2010 établissant le programme de surveillance de l'état des eaux.

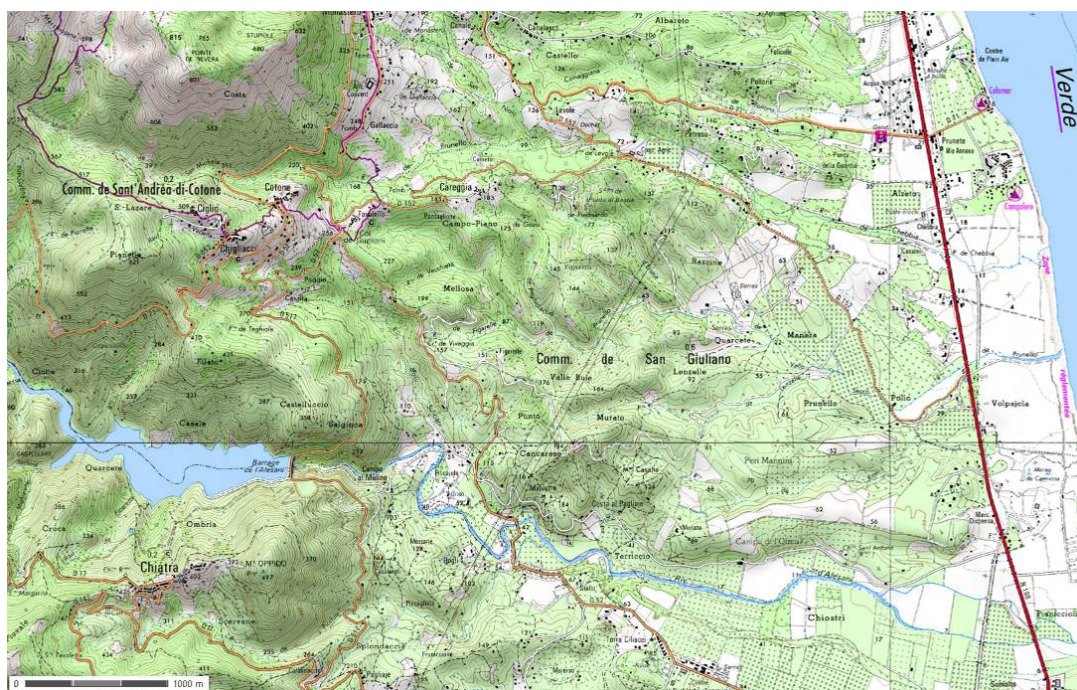
RCS : un passage par plan de gestion (soit une fois tous les six ans)

CO : un passage tous les trois ans

1.2. PRESENTATION DU PLAN D'EAU ET LOCALISATION

La retenue d'Alesani est située dans la plaine orientale Corse, à une altitude de 160 m. La superficie du plan d'eau est de 60 ha pour une longueur de 2,5 km. Le plan d'eau reçoit les eaux de l'Alesani et du ruisseau de Spiscia. Le bassin versant est petit et peu anthropisé.

La retenue est exploitée depuis 1961 par l'Office d'Equipement Hydraulique de Corse pour l'hydroélectricité et l'alimentation en eau (irrigation). La hauteur de la digue en enrochement est de 60 m. Une accumulation de matériaux semble s'être formée en amont du parement à une profondeur moyenne de 30-40 m de profondeur. Le plan d'eau est soumis à un marnage important (qui peut atteindre 25 m) du fait de son exploitation.



Carte de localisation de la retenue d'Alesani (Source : Géoportail, IGN)

1.3. CONDITIONS CLIMATIQUES 2013

La retenue d'Alesani bénéficie d'un climat méditerranéen caractérisé par des hivers doux et pluvieux et des étés chauds et secs suivis de pluies abondantes en automne.

En Corse, le printemps 2013 (avril et mai) a été caractérisé par d'importantes précipitations un ensoleillement déficitaire en avril et normal en mai. L'été 2013 s'est révélé chaud et conforme aux normales saisonnières (précipitations fortes en juillet et rares en août). Le début d'automne (septembre, octobre) a été chaud et sec.

2. CONTENU DU SUIVI 2013

La retenue d'Alesani est suivie au titre du Réseau de Contrôle de Surveillance (RCS) et du Contrôle Opérationnel (CO). Les précédents suivis dans le cadre du programme de surveillance DCE ont été réalisés en 2010 et en 2007.

2.1. PROGRAMME

Le tableau ci-dessous indique les dates des investigations réalisées en 2013 ainsi que les structures intervenantes.

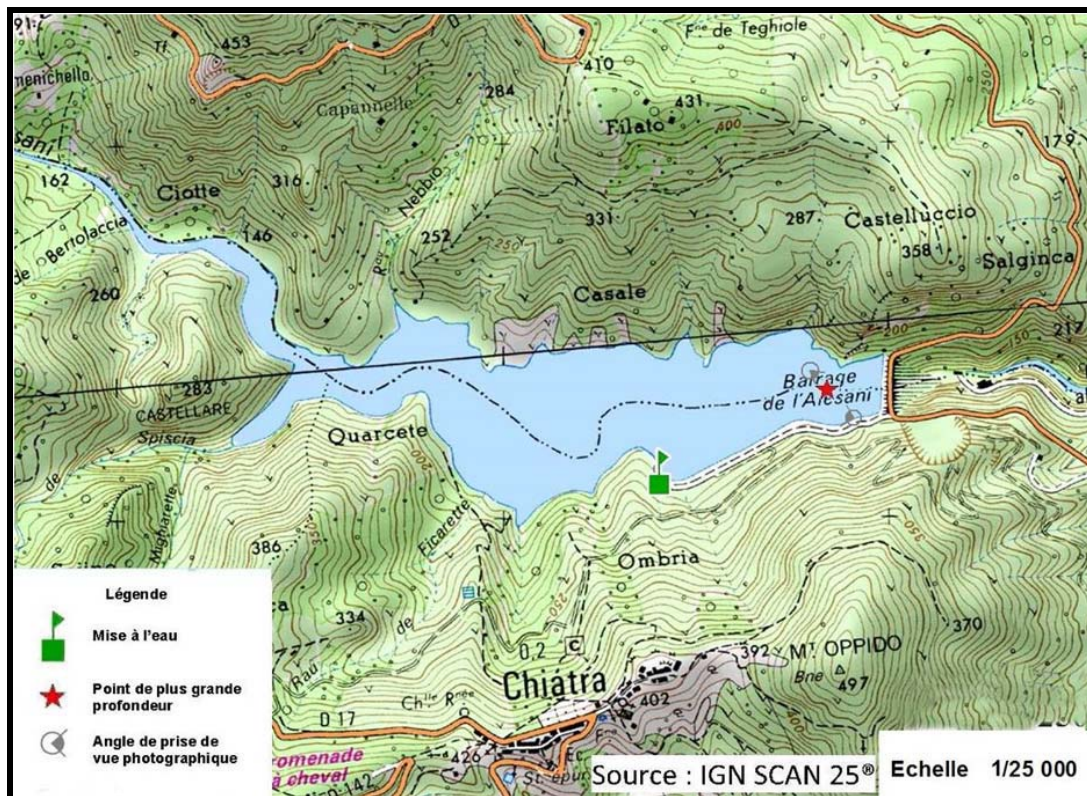
Alesani (Y9205023)	Phase terrain					Phase Laboratoire
	1	IOBL	2	3	4	
Campagnes	1	IOBL	2	3	4	
Dates	26/02/2013	03/04/2013	15/05/2013	10/07/2013	19/09/2013	
Physicochimie eau	aquascop		aquascop	aquascop	aquascop	Labo CARSO
Physicochimie sédiment					aquascop	LDA26
Phytoplancton	aquascop		aquascop	aquascop	aquascop	aquascop
Invertébrés		Iris consultants				Iris consultants

2.2. INVESTIGATIONS PHYSICOCHIMIQUES

Les paramètres physico-chimiques analysés dans l'eau sont suivis lors de quatre campagnes calées aux différentes phases du cycle annuel de fonctionnement du plan d'eau (entre février et octobre). Les dates d'intervention sont mentionnées au paragraphe 2.1. A chaque campagne, sont réalisés au point de plus grande profondeur :

- un profil vertical des paramètres physico-chimiques de terrain : température, conductivité, oxygène dissous (en mg/l et % saturation) et pH ;
- des échantillons d'eau pour analyses (physico-chimie, micropolluants, pigments chlorophylliens).

Les paramètres physicochimiques analysés dans le sédiment sont suivis lors d'une campagne (automne).



2.2.1. Mesures in situ

Lors des 4 campagnes, un relevé in situ des paramètres température, conductivité, oxygène (en concentration et en % saturation) et pH selon un profil vertical est réalisé au point de plus grande profondeur.

Ce point de mesure est généralement connu (fiche station mise à disposition du bureau d'étude par l'Agence de l'eau). Il est atteint à l'aide d'une embarcation équipée d'un échosondeur associé à un GPS. Arrivé sur site, le bateau est maintenu dans le même secteur pendant tous les relevés (ancrage).

Les mesures sont réalisées à l'aide d'une sonde multiparamètres de marque HYDROLAB type DS5 équipée d'un câble de 100 mètres. Les relevés, réalisés tous les mètres, sont enregistrés sur un assistant numérique personnel (PDA) associé à cette sonde.

La transparence est mesurée à l'aide d'un disque de Secchi de diamètre 20 cm (dessins ¼ noir, ¼ blanc); 3 mesures sont réalisées consécutivement ; la valeur retenue est la moyenne des 3 mesures.

2.2.2. Prélèvements d'eau

Lors des 4 campagnes, on réalise des prélèvements d'eau pour les analyses chimiques :

- Un échantillonnage intégré dans la zone euphotique. Celle-ci est égale à 2,5 fois la transparence mesurée avec le disque de Secchi ;
- Un échantillonnage de l'eau du fond (1 mètre au-dessus du fond).

Les prélèvements d'eau pour analyses chimiques sont effectués à l'aide d'une bouteille intégratrice revêtue de teflon de type Niskin (volume de 2,6 litres). Pour constituer l'échantillon de zone euphotique, plusieurs prélèvements ponctuels répartis de manière équidistante dans la zone euphotique, sont réalisés puis mélangés dans un seau en inox avant de remplir (à l'aide d'un entonnoir inox et d'un béccher inox) les flacons fournis par le laboratoire d'analyses (CARSO).

2.2.3. Prélèvement de sédiment

Les sédiments sont prélevés une fois par an lors de la 4^{ème} et dernière campagne au point de plus grande profondeur.

L'échantillonnage se fait à l'aide d'une benne Eckman en acier inoxydable, qui permet de prélever la couche superficielle du sédiment (2 à 5 premiers centimètres). 3 coups de benne sont réalisés dans la station. Les sous-échantillons sont mélangés dans un récipient inox avant de remplir (à l'aide d'une spatule inox) les flacons fournis par le laboratoire d'analyses (LDA26).

2.2.4. Transfert et analyse des échantillons

Les échantillons pour analyses chimiques sont stockés dans des glacières avec réfrigérants, fournies par les laboratoires d'analyse. Ces glacières sont portées le jour même¹ au dépôt du transporteur TNT le plus proche du site pour le laboratoire CARSO ou par chronopost pour le laboratoire LDA26. Les échantillons parviennent au laboratoire d'analyses dans les 24 heures suivant le prélèvement.

Les échantillons d'eau ont été analysés par le Laboratoire CARSO à Lyon et les échantillons de sédiments par le Laboratoire Départemental d'Analyses de la Drôme (LDA 26).

2.3. INVESTIGATIONS BIOLOGIQUES

Les investigations hydrobiologiques concernant ce plan d'eau comprennent plusieurs volets :

- l'étude des peuplements phytoplanctoniques : protocole standardisé d'échantillonnage, de conservation, d'observation et de dénombrement du phytoplancton en plan d'eau pour la mise en œuvre de la DCE, v3.3.1, Cemagref, septembre 2009 ;
- l'étude des oligochètes : protocole actualisé de la diagnose rapide des plans d'eau (Barbe et al., 2003) et norme NF T90-391 relative à la détermination de l'indice oligochètes de bioindication lacustre (IOBL), 2005.

2.3.1. Phytoplancton

L'analyse du phytoplancton est réalisée à partir d'un prélèvement d'eau de la zone euphotique (même station que pour les analyses chimiques).

Sur le terrain, le prélèvement d'eau intégré dans la zone euphotique se fait à l'aide d'un tuyau intégrateur. Un aliquote de l'échantillon sert à l'analyse du phytoplancton ; il est fixé au lugol pour la bonne conservation des algues. Un autre aliquote de l'échantillon sert à l'analyse de la chlorophylle a ; il est filtré sur site à l'aide d'une pompe à vide électrique ou manuelle (filtration sur un filtre d'acétate de cellulose de 0,7 µm de porosité).

¹ Sauf exceptions pour quelques sites isolés.

Le dosage de la chlorophylle et des phéopigments est confié au laboratoire d'analyses CARSO (même envoi que pour les analyses chimiques d'eau).

La composition du phytoplancton est analysée dans le laboratoire AQUASCOP selon la norme NF EN 15204 correspondant à la méthode d'Utermohl adoptée au niveau européen et suivant les spécifications particulières du protocole standardisé mis en œuvre pour la DCE version 3.3.1, septembre 2009.

Les dénombrements sont réalisés par comptage à l'espèce dans la mesure du possible. Le comptage est effectué au microscope inversé après sédimentation dans une cuve d'Utermohl (1958). L'outil de comptage PHYTOBS est utilisé pour le dénombrement du phytoplancton, dont les résultats sont exprimés par taxon en nombre de cellules/ml et en biovolumes (mm^3 /l).

L'indice planctonique IPL est calculé à partir de l'abondance des différents groupes algaux exprimée en biovolumes.

2.3.2. Invertébrés

Dans les plans d'eau de type retenue, seuls les oligochètes sont pris en compte : protocole actualisé de la diagnose rapide des plans d'eau (Barbe et al., 2003) et norme NF T90-391 relative à la détermination de l'indice oligochètes de bioindication lacustre (IOBL), 2005.

Sur le terrain, 3 échantillons de sédiment sont prélevés à l'aide d'une benne Eckman ou Ponar sur une ligne parallèle au barrage : le premier à la profondeur maximale alors que les deux autres sont réalisés de part et d'autre (vers les rives gauche et droite) à 50% de la profondeur maximale. Chaque échantillon est constitué par au moins 5 prélèvements effectués à une dizaine de mètres les uns des autres. Un premier tamisage (250 μm) est effectué sur site. Le refus du tamis est conservé et fixé au formol (solution aqueuse à 35%).

Au laboratoire, sont effectuées les opérations de tri, d'extraction des individus, de préparation des échantillons, de détermination et de comptage des oligochètes. La détermination nécessite une loupe binoculaire et/ou un microscope. Le niveau de détermination est l'espèce ou un ensemble taxonomique plus général tel que genre ou famille par exemple pour les individus immatures.

3. RESULTATS DES INVESTIGATIONS

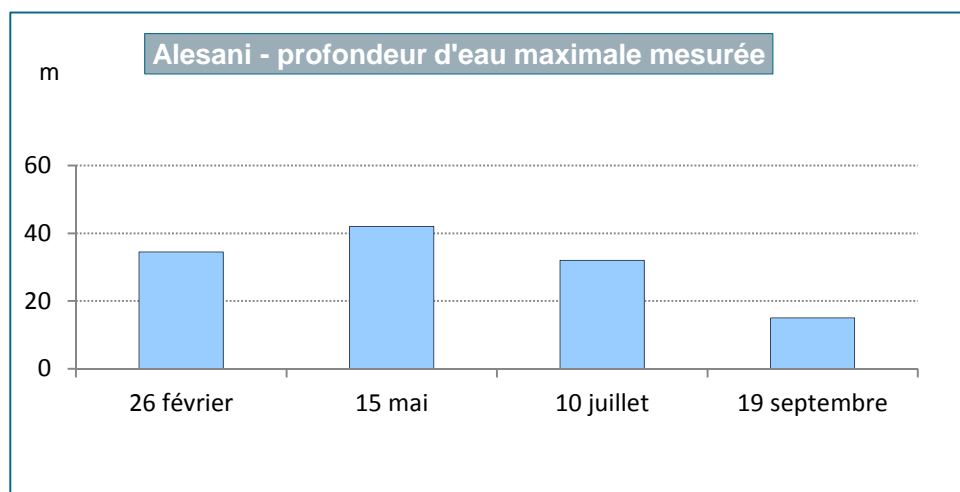
3.1. INVESTIGATIONS PHYSICOCIMIQUES

Les compte-rendus des campagnes de prélèvements figurent en annexe 3.

3.1.1. Analyses des eaux du plan d'eau

3.1.1.1. Evolution de la hauteur d'eau

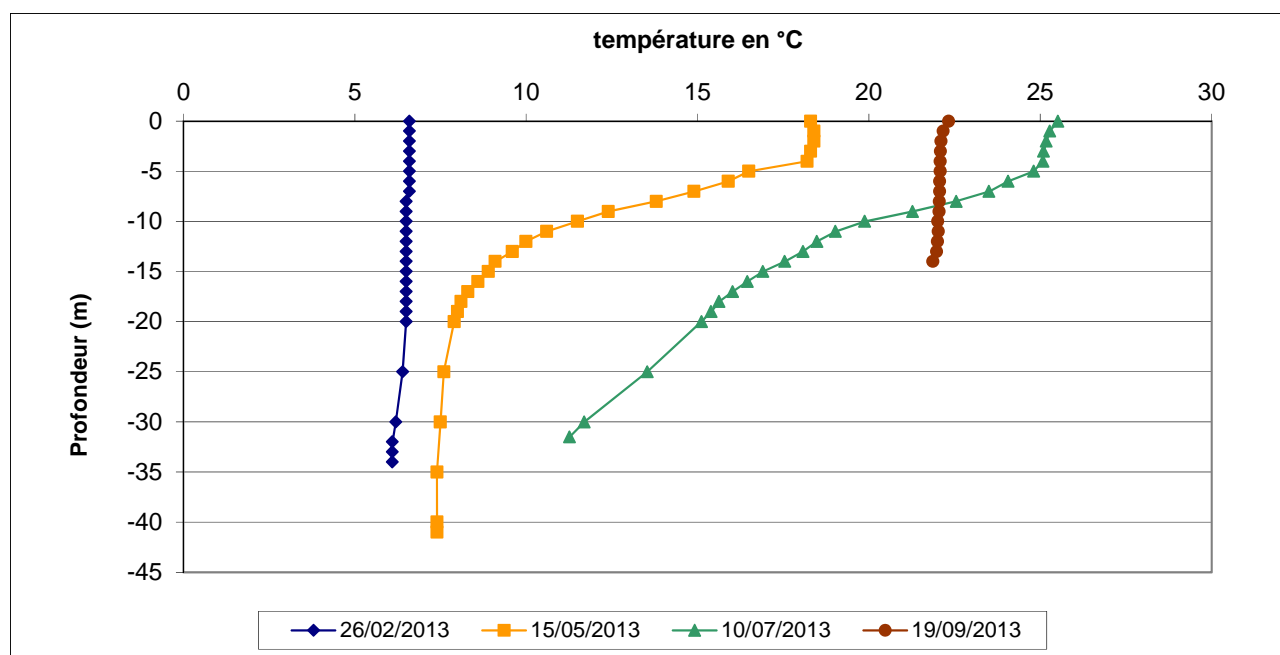
En 2013, la hauteur d'eau du plan d'eau dans la zone la plus profonde varie de 15 mètres (fin d'été) à 42 mètres (printemps). Au mois de septembre, la retenue a été partiellement vidée pour réaliser des travaux sur le barrage.



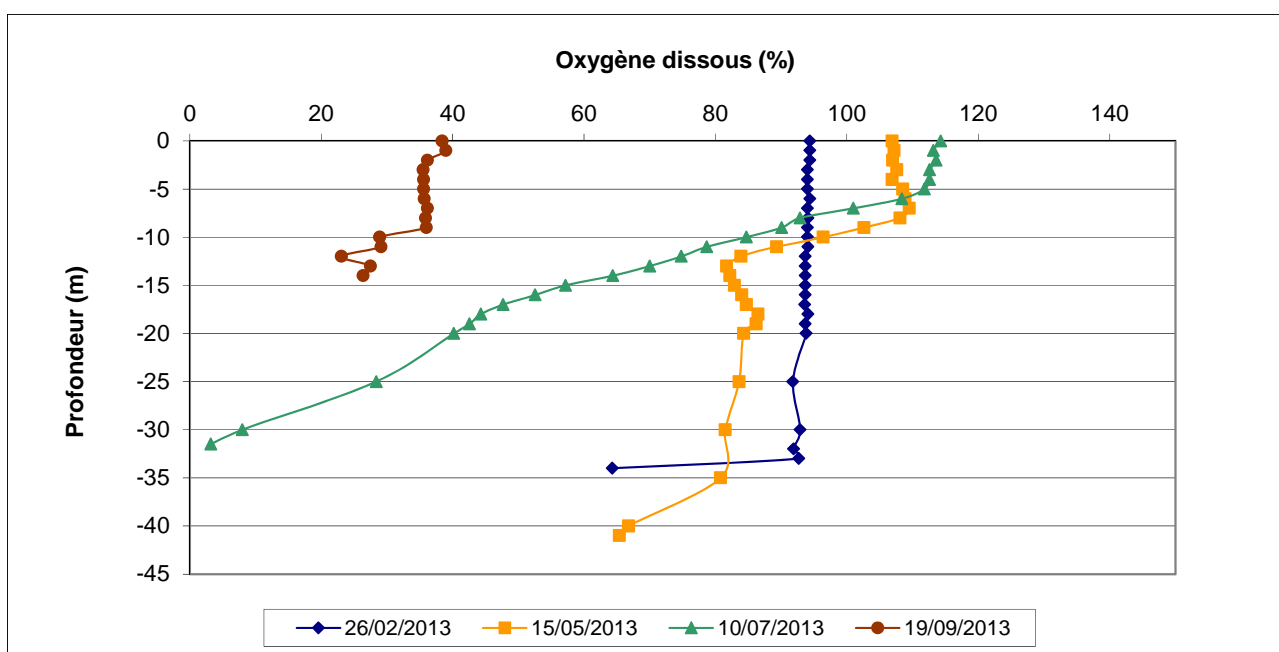
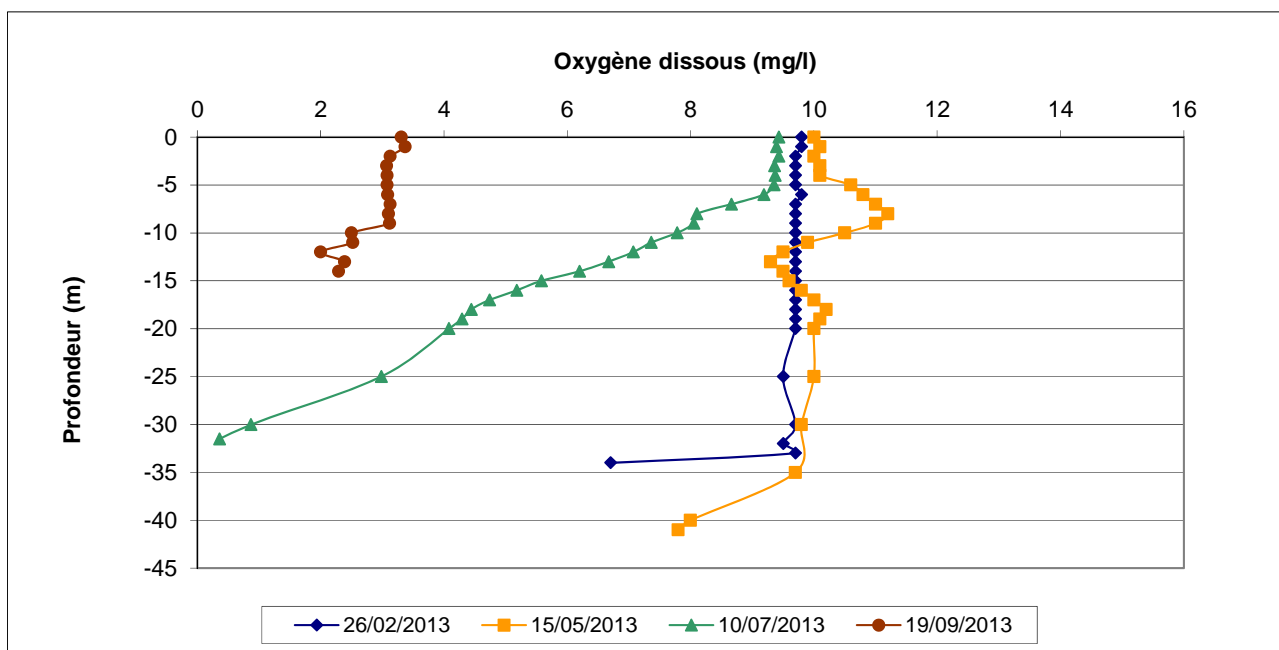
3.1.1.2. Profils verticaux et évolution saisonnières

Le suivi comprend des relevés in situ des paramètres température, conductivité, oxygène (en concentration et en % saturation) et pH selon un profil vertical au point de plus grande profondeur, ceci lors de 4 campagnes.

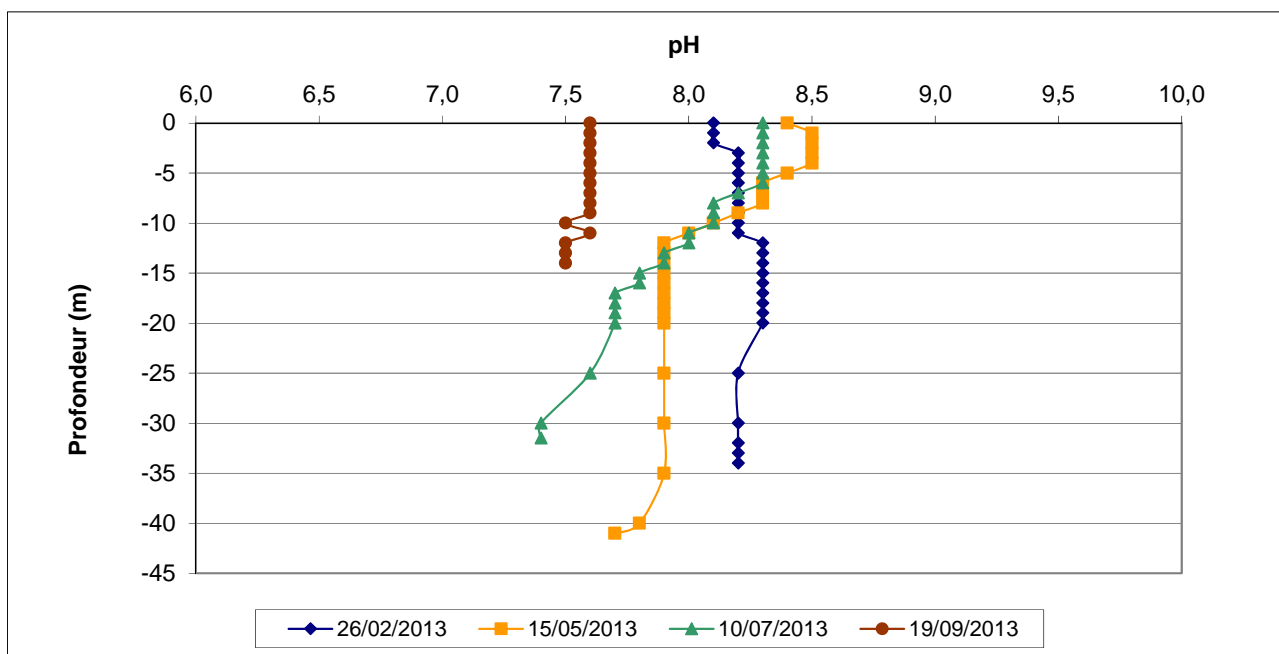
Les graphiques regroupant ces résultats pour chaque paramètre lors des 4 campagnes sont présentés ci-dessous.



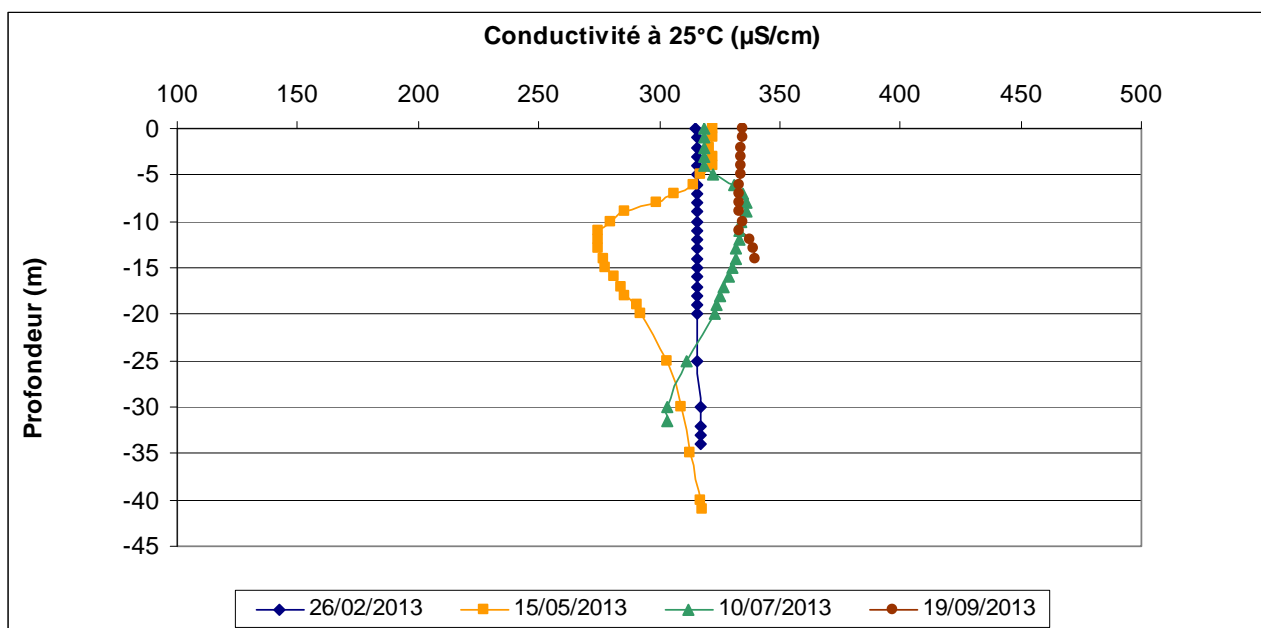
En fin d'hiver (février 2013), la température de l'eau est froide (7°C) et homogène dans toute la colonne d'eau. En mai, une thermocline est en place entre 5 et 15 m ; l'épilimnion a une épaisseur de 4 m et une température de 18°C ; sous la thermocline, la température de l'hypolimnion est de 8°C. En juillet, il n'y a pas de réelle stratification : la couche de surface, de 4-5 m d'épaisseur, est chaude (25°C) ; en-dessous, la température baisse régulièrement jusqu'au fond (11,3°C). En septembre, la retenue est très basse (hauteur d'eau de 14 m) et la température est homogène (22°C). La vidange partielle du plan d'eau avant travaux a déstratifié le plan d'eau.



En février, la teneur en oxygène dissous est homogène dans la masse d'eau (94%). Lors de la campagne printanière (mai), on observe une légère suroxygénation de l'épilimnion (107%); l'oxycline se situe entre 8 et 12m (passage de 108% à 84%) ; en dessous l'oxygène est stable (environ 80%) jusqu'au fond (65%). En juillet, la courbe a la même allure que celle de la température : oxygénation stable et assez forte (113%) dans les 5 premiers mètres puis baisse régulière jusqu'au fond (3%). En septembre, la retenue présente un fort déficit en oxygène (26%) lié à la vidange partielle et à la déstratification de la colonne d'eau.



En février, le pH est basique (proche de 8) et stable dans la colonne d'eau. En mai, le pH est proche de 8,3 dans l'épilimnion puis il baisse entre 4 m et 12 m de profondeur (7,9) et demeure à ce même niveau jusqu'au fond.. Au mois de juillet, le pH, également stable de 0 à 6 m de profondeur (8,5), baisse ensuite rapidement jusqu'au fond. En septembre, le pH est homogène (7,6).



La conductivité est moyenne en cohérence avec la géologie. On observe de légères variations de conductivité sous l'épilimnion lors des campagnes 2 et 3.

3.1.1.3. Paramètres de constitution et typologie

Les paramètres de minéralisation sont étudiés lors de la 1^{ère} campagne uniquement. Les résultats sont présentés dans le tableau ci-dessous.

Minéralisation - eau			
Retenue d'Alesani		Limite quantification	26/02/2013
Code plan d'eau : Y9205023			Intégré
Dureté calculée	°F	0,5	15,7
T.A.C	°F	0,5	14,3
HCO ₃	mg(HCO ₃)/L	6,1	174
Calcium total	mg(Ca)/L	0,5	51,9
Magnésium	mg(Mg)/L	0,1	7,99
Sodium	mg(Na)/L	1	5,8
Potassium	mg(K)/L	0,5	0,9
Chlorures	mg(Cl)/L	0,1	8,9
Sulfates	mg(SO ₄)/L	0,2	12,1

Les résultats mettent en évidence une eau moyennement dure et bien minéralisée, en relation avec la nature calcaire des assises géologiques locales.

3.1.1.4. Paramètres physicochimiques classiques

Le tableau suivant présente les résultats des analyses d'eau (hors micropolluants) lors des 4 campagnes réalisées en 2013.

Physico-chimie - eau										
Retenue d'Alesani		Limite quantification	26/02/2013		15/05/2013		10/07/2013		19/09/2013	
Code plan d'eau : Y9205023			Intégré	Fond	Intégré	Fond	Intégré	Fond	Intégré	Fond
Turbidité	NTU	0,1	2	2,4	0,73	1,9	0,97	5,8	4,6	9,6
MeS	mg/L	2	<LQ	<LQ	<LQ	<LQ	4,4	<LQ	5,4	8,4
COD	mg(C)/L	0,2	1,5	1,4	1,4	1,1	1,5	1,5	1,5	1,5
DCO	mg(O ₂)/L	5	<LQ	<LQ	<LQ	<LQ	6,9	<LQ	8,7	7,6
DBO	mg(O ₂)/L	0,5	0,9	0,8	0,8	1	0,7	2,1	1,9	2,1
Azote Kjeldahl	mg(N)/L	0,5	<LQ	<LQ	<LQ	<LQ	<LQ	<LQ	<LQ	<LQ
Ammonium	mg(NH ₄)/L	0,05	<LQ	0,05	<LQ	<LQ	<LQ	0,13	0,14	0,06
Nitrates	mg(NO ₃)/L	1	1,7	1,8	2,4	2,5	1,1	1,7	<1	<1
Nitrites	mg(NO ₂)/L	0,01 ou 0,02	<0,02	<0,02	0,03	<0,02	0,01	0,02	<0,02	<0,02
Phosphates	mg(PO ₄)/L	0,01	0,01	0,02	0,04	<LQ	0,02	0,01	0,01	<LQ
Phosphore total	mg(P)/L	0,01	<LQ	<LQ	<LQ	<LQ	0,01	<LQ	0,01	0,01
Silice	mg(SiO ₂)/L	1	5,7	5,9	5,9	5,8	5,6	6,2	5,7	6,1
Chlorophylle a	µg/L	1	1		<LQ		<LQ		1	
Phéopigments	µg/L	1	<LQ		<LQ		1		2	

Analyses sur eau filtrée : ammonium, nitrates, nitrites, phosphates, silice et COD

Les concentrations en surface comme au fond de matière organique et de phosphore sont faibles. On relève la présence de nitrates dans l'eau en concentration non négligeable de la fin de l'hiver à la seconde campagne estivale (mi juillet). Les teneurs en silice dissoute sont assez élevées.

La biomasse algale est très faible ; les concentrations en chlorophylle a et phéopigments sont presque toujours inférieures aux limites de quantification.

3.1.1.5. Micropolluants minéraux

Le tableau suivant présente les résultats des analyses de micropolluants minéraux dosés dans l'eau lors des 4 campagnes réalisées en 2013.

Retenue d'Alesani		Limite quantification	26/02/2013		15/05/2013		10/07/2013		19/09/2013	
Code plan d'eau : Y9205023			Intégré	Fond	Intégré	Fond	Intégré	Fond	Intégré	Fond
Antimoine	µg(Sb)/L	0,5	<LQ	<LQ	<LQ	<LQ	<LQ	<LQ	<LQ	<LQ
Argent	µg(Ag)/L	0,02	<LQ	<LQ	<LQ	<LQ	<LQ	<LQ	<LQ	<LQ
Arsenic	µg(As)/L	0,5	<LQ	<LQ	<LQ	<LQ	0,8	0,7	1,5	1,6
Baryum	µg(Ba)/L	0,5	3,9	3,9	3,3	3,9	4,3	3,9	7,3	7,4
Beryllium	µg(Be)/L	0,01	<LQ	<LQ	<LQ	<LQ	<LQ	<LQ	<LQ	<LQ
Bore	µg(B)/L	10	14	13	14	18	33	11	14	14
Cadmium	µg(Cd)/L	0,03	<LQ	<LQ	<LQ	<LQ	<LQ	<LQ	<LQ	<LQ
Chrome Total	µg(Cr)/L	0,5	0,56	0,58	<LQ	1,1	0,99	<LQ	<LQ	<LQ
Cobalt	µg(Co)/L	0,05	0,09	0,1	0,26	0,34	0,15	0,12	<LQ	<LQ
Cuivre	µg(Cu)/L	0,5	1,5	<LQ	<LQ	0,81	0,97	<LQ	0,55	<LQ
Étain	µg(Sn)/L	0,5	<LQ	<LQ	<LQ	<LQ	0,9	2,6	<LQ	<LQ
Mercure	µg(Hg)/L	0,02	<LQ	<LQ	<LQ	<LQ	<LQ	<LQ	<LQ	<LQ
Molybdène	µg(Mo)/L	1	<LQ	<LQ	<LQ	<LQ	<LQ	<LQ	<LQ	<LQ
Nickel	µg(Ni)/L	0,5	<LQ	<LQ	<LQ	<LQ	<LQ	<LQ	1,1	1,3
Plomb	µg(Pb)/L	0,05	0,12	<LQ	<LQ	<LQ	<LQ	<LQ	<LQ	<LQ
Sélénium	µg(Se)/L	0,3	<LQ	<LQ	<LQ	<LQ	<LQ	<LQ	<LQ	<LQ
Thallium	µg(Tl)/L	0,03	<LQ	<LQ	<LQ	<LQ	<LQ	<LQ	<LQ	<LQ
Titane	µg(Ti)/L	0,5	<LQ	<LQ	<LQ	<LQ	1,2	<LQ	<LQ	<LQ
Uranium	µg(U)/L	0,05	0,26	0,25	0,21	0,21	0,23	0,2	0,33	0,33
Vanadium	µg(V)/L	0,3	<LQ	<LQ	<LQ	<LQ	0,33	<LQ	<LQ	<LQ
Zinc	µg(Zn)/L	1	18,21	3,17	3,38	1,14	2,2	<LQ	2,08	1,17

Analyses sur eau filtrée

Des micropolluants minéraux sont détectés dans l'eau lors de toutes les campagnes (baryum, bore, uranium,) ou ponctuellement (arsenic, chrome, cobalt, cuivre, étain, nickel, plomb, titane, vanadium, zinc) à des concentrations faibles.

8 éléments dosés dans l'eau ne sont jamais détectés (concentrations inférieures aux limites de quantification) : antimoine, argent, beryllium, cadmium, mercure, molybdène, sélénium, thallium.

3.1.1.6. Micropolluants organiques

Le tableau suivant présente les résultats des analyses de micropolluants organiques dosés dans l'eau lors des 4 campagnes réalisées en 2013. Seuls figurent dans le tableau les micropolluants dont les concentrations sont supérieures aux limites de quantification. La liste des molécules recherchées est donnée en annexe 1.

Précision : Il s'agit d'une présentation des résultats bruts, certaines valeurs pouvant être qualifiées d'incertaines suite à la validation finale des résultats (cas par exemple des valeurs mesurées en BTEX, HAP, DEHP, Formaldéhyde, dont une contamination via la chaîne de prélèvement et/ou d'analyse de laboratoire est parfois privilégiée).

Micropolluants organiques – eau – molécules > LD (voir liste complète molécules dosées en annexe)										
Retenue d'Alesani		Limite quantification	26/02/2013		15/05/2013		10/07/2013		19/09/2013	
Code plan d'eau : Y9205023			Intégré	Fond	Intégré	Fond	Intégré	Fond	Intégré	Fond
4-nonylphénols ramifiés	µg/L	0,1	1,2	<LQ	<LQ	<LQ	<LQ	<LQ	<LQ	<LQ
Naphtalène	µg/L	0,01	<LQ	0,025	<LQ	<LQ	<LQ	<LQ	<LQ	<LQ
Toluène	µg/L	1	<LQ	1,5	<LQ	1,1	<LQ	<LQ	<LQ	<LQ
Trichloréthylène	µg/L	0,5	<LQ	0,6	<LQ	<LQ	<LQ	<LQ	<LQ	<LQ

Sur les 670 substances recherchées, 4 présentent parfois des concentrations supérieures aux limites de quantification. Il s'agit d'un hydrocarbure aromatiques polycyclique, le naphtalène, et de 3 autres micropolluants organiques (le 4-nonylphénols ramifiés, le toluène et le trichloroéthylène). Les concentrations de ces 4 substances restent toutefois très faibles.

Ces molécules ont été quantifiées lors des 2 premières campagnes.

3.1.2. Analyse de sédiments

3.1.2.1. Granulométrie

L'analyse granulométrique témoigne de la nature argilo-limoneuse du sédiment (86% des particules sont de taille inférieure à 63 μ).

Sédiment : composition granulométrique (%)	
Retenue d'Alesani	
Code plan d'eau : Y9205023	
19/09/2013	
Classe granulométrique (μ m)	%
Teneur en fraction inférieure à 20 μ m	51,6
Teneur en fraction de 20 à 63 μ m	34,1
Teneur en fraction de 63 à 150 μ m	8,9
Teneur en fraction de 150 à 200 μ m	2,4
Teneur en fraction supérieure à 200 μ m	3

3.1.2.2. Physicochimie du sédiment

Les analyses de physico-chimie classique sur la fraction solide (MS de particules < 2mm) et sur l'eau interstitielle du sédiment sont reportées dans les tableaux ci-dessous.

Les sédiments présentent des concentrations moyennes en matières organiques, azote et phosphore. Le rapport C/N est moyen (il est de 10).

Sédiment : fraction solide < 2 mm - 19/09/2013			
Retenue d'Alesani		Limite quantification	concentrations
Code plan d'eau : Y9205023			
Matière Sèche Minérale (M.S.M)	% MS		91
Perte au feu à 550°C	% MS		9
Quantité de Matière sèche (M.S)	%		59,2
Carbone organique	mg(C)/kg MS	1000	38400
Ammonium	mg(N)/kg MS	200	430
Azote organique	mg(N)/kg MS	200	3340
Azote Kjeldahl	mg(N)/kg MS	1000	3770
Phosphore total	mg(P)/kg MS	0,5	724

L'eau interstitielle contient les minéraux facilement mobilisables dans les sédiments. Les concentrations moyennes de phosphore et d'ammonium signalent un relargage de ces éléments à l'interface eau/sédiment.

Eau interstitielle du sédiment - 19/09/2013			
Retenue d'Alesani		Limite quantification	concentrations
Code plan d'eau : Y9205023			
NH4	mg(NH4)/L	0,5	8,37
PO4	mg(PO4)/L	1,5	< LQ
Phosphore Total	mg(P)/L	0,01	0,59

3.1.2.3. Micropolluants minéraux

Les sédiments sont riches en aluminium, en fer, en manganèse et titane. Parmi les métaux lourds, les concentrations mesurées suggèrent une contamination assez forte par le chrome et le nickel et dans une moindre mesure par le cuivre.

Sédiment : Micropolluants minéraux – 19/09/2013			
Retenue d'Alesani		Limite quantification	concentrations
Code plan d'eau : Y9205023			
Aluminium	mg(Al)/kg MS	10	78960
Antimoine	mg(Sb)/kg MS	0,2	1,5
Argent	mg(Ag)/kg MS	0,2	< LQ
Arsenic	mg(As)/kg MS	0,2	21,8
Baryum	mg(Ba)/kg MS	0,2	411,2
Beryllium	mg(Be)/kg MS	0,2	2,4
Bore	mg(B)/kg MS	0,2	77,5
Cadmium	mg(Cd)/kg MS	0,2	0,2
Chrome	mg(Cr)/kg MS	0,2	341,3
Cobalt	mg(Co)/kg MS	0,2	38,5
Cuivre	mg(Cu)/kg MS	0,2	70,5
Etain	mg(Sn)/kg MS	0,2	3,2
Fer	mg(Fe)/kg MS	10	60570
Manganèse	mg(Mn)/kg MS	0,2	1957
Mercuré	mg(Hg)/kg MS	0,02	0,03
Molybdène	mg(Mo)/kg MS	0,2	0,6
Nickel	mg(Ni)/kg MS	0,2	248,9
Plomb	mg(Pb)/kg MS	0,2	25,4
Sélénium	mg(Se)/kg MS	0,2	1,8
Tellure	mg(Te)/kg MS	0,2	< LQ
Thallium	mg(Tl)/kg MS	0,2	0,8
Titane	mg(Ti)/kg MS	0,2	3034
Uranium	mg(U)/kg MS	0,2	0,9
Vanadium	mg(V)/kg MS	0,2	166,4
Zinc	mg(Zn)/kg MS	0,2	127,1

3.1.2.4. Micropolluants organiques

Le tableau ci-dessous rassemble les micropolluants organiques dont la concentration est supérieure à la limite de quantification. La liste de l'ensemble des substances analysées est fournie en annexe 5.2.

Deux HAP (le benzo(a)anthracène et le benzo(b)fluoranthène) et deux micropolluants organiques (le toluène et le crésol-para) sont quantifiés à de faibles teneurs dans le sédiment de la retenue d'Alesani.

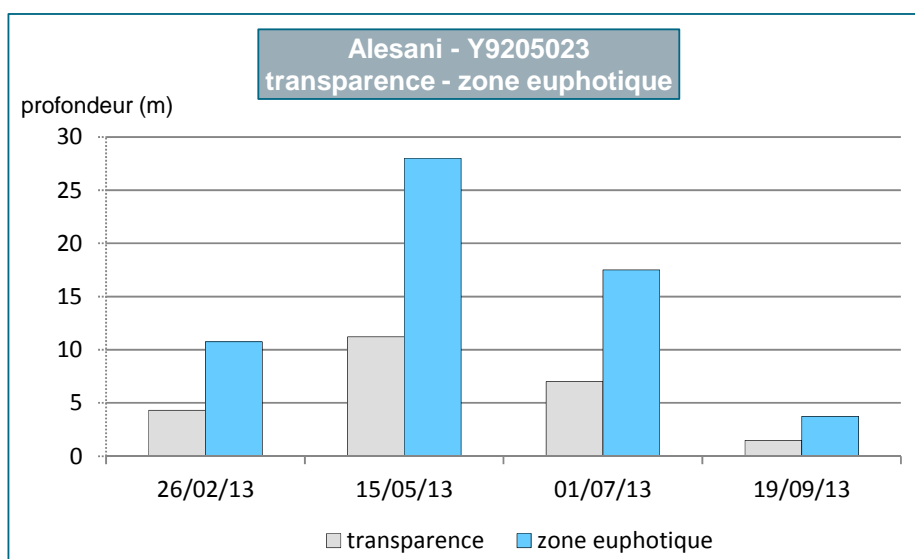
Sédiment : Micropolluants organiques détectés – 19/09/2013			
Retenue d'Alesani		Limite quantification	concentrations
Code plan d'eau : Y9205023			
Benzo (a) Anthracène	µg/kg MS	10	10
Toluène	µg/kg MS	5	14
Benzo (b) Fluoranthène	µg/kg MS	10	18
Crésol-para	µg/kg MS	50	57

3.2. PHYTOPLANCTON

3.2.1. Importance de la zone euphotique

Les échantillonnages de phytoplancton ont été réalisés dans la zone euphotique² par un prélèvement intégré.

Le graphique suivant présente l'évolution saisonnière de la transparence mesurée au disque de Secchi et de la zone euphotique.



La transparence est assez bonne lors des 3 premières campagnes (> 4 m). En revanche, en septembre, elle n'est que de 1,5 m ce qui pourrait s'expliquer par la présence d'un grand biovolume algal (cf paragraphe 3.2.2).

3.2.2. Biomasse phytoplanctonique

Le tableau ci-dessous rappelle les teneurs en pigments chlorophylliens par campagne.

Retenue d'Alesani		Limite quantification	Concentrations dans l'échantillon intégré			
Code plan d'eau : Y9205023			26/02/2013	15/05/2013	10/07/2013	19/09/2013
Chlorophylle a	µg/L	1	1	<LQ	<LQ	1
Phéopigments	µg/L	1	<LQ	<LQ	1	2

La biomasse algale (évaluée par le dosage des pigments chlorophylliens) est très réduite en toute saison.

3.2.3. Listes floristiques et densités

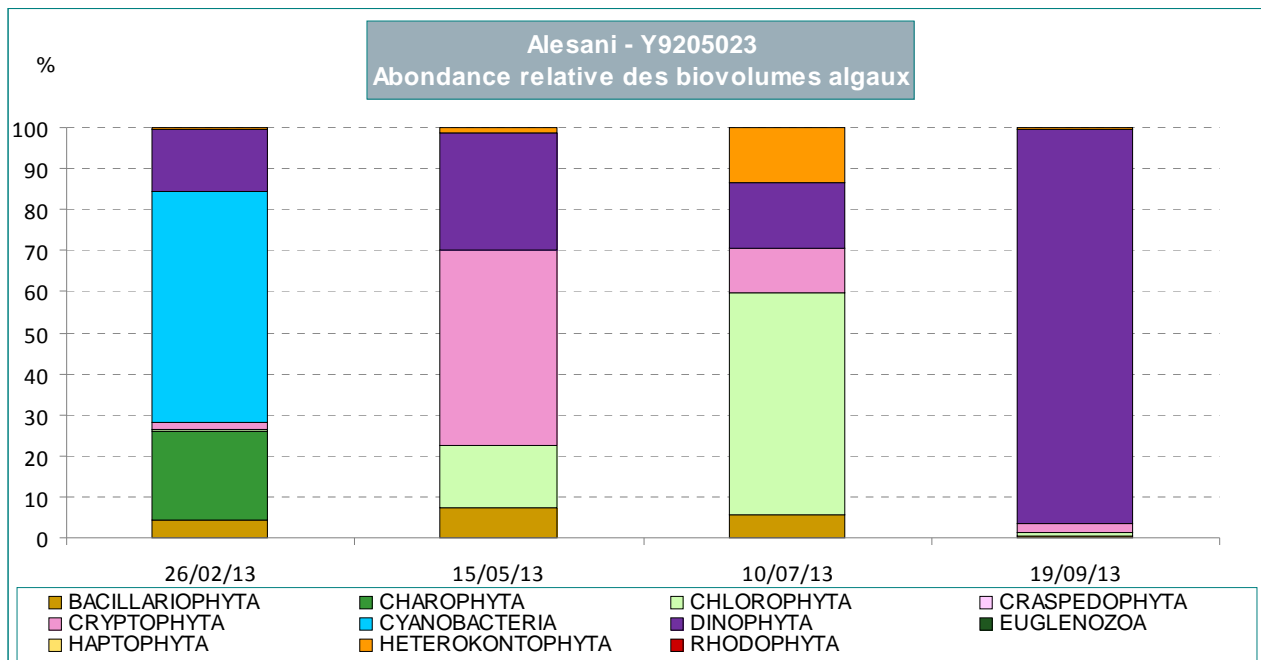
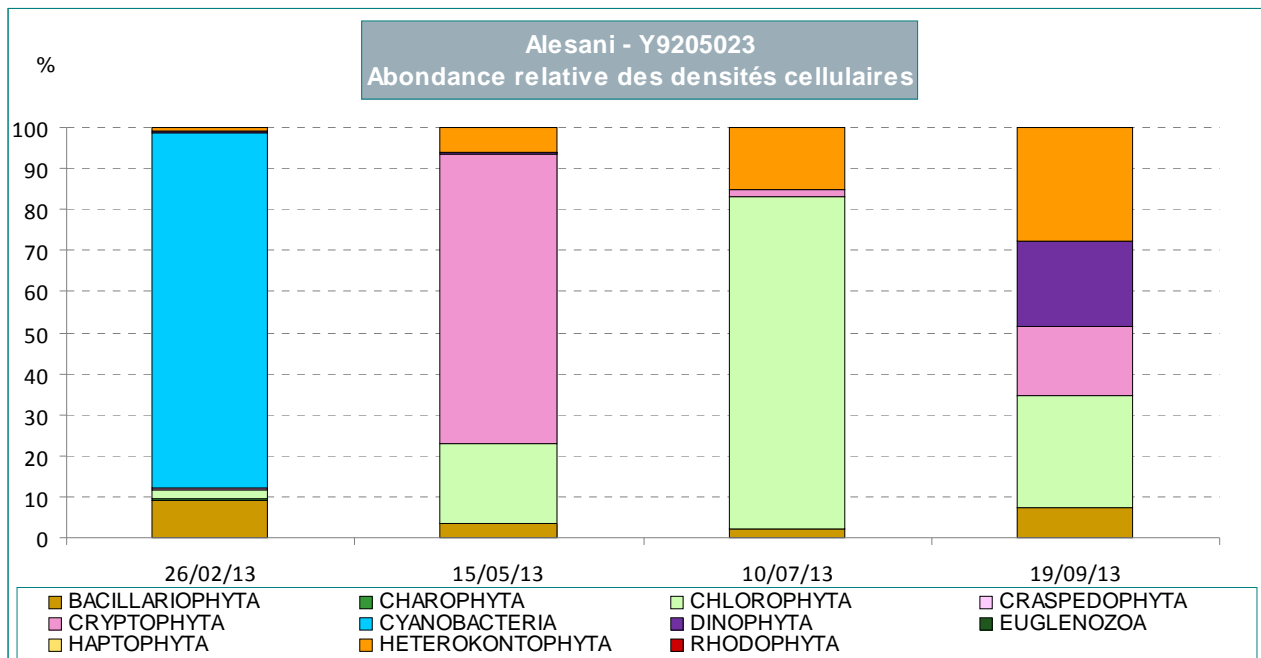
Le tableau ci-dessous présente la composition phytoplanctonique (taxons et densité en nombre de cellules par ml) pour les 4 campagnes.

² La zone euphotique est égale à 2,5 fois la transparence.

Inventaire du phytoplancton dans le plan d'eau Alesani (Y9205023)						
prélèvements AQUASCOP: détermination AQUASCOP						
résultats exprimés en densité cellulaire (cell./ml)						
	Code SANDRE	Code Taxon	26/02/2013	15/05/2013	10/07/2013	19/09/2013
BACILLARIOPHYTA						
BACILLARIOPHYCEAE						
<i>Achnanthes</i>	9354	ACHSPX		1		
<i>Cocconeis</i>	9361	COCSPX			0,4	
<i>Navicula</i>	9430	NAVSPX			0,4	1
<i>Nitzschia</i>	9804	NIZSPX	0,2	3	2	
<i>Nitzschia acicularis</i>	8809	NIZACI		1		
COSCINODISCOPHYCEAE						
<i>Aulacoseira</i>	9476	AULSPX	0,1			
<i>Aulacoseira ambigua</i>	8554	AULAMB	0,2		1	23
<i>Cyclotella</i>	9508	CYCSPX	4			
<i>Cyclotella ocellata</i>	8635	CYCOCE		1	1	
Diatomées centriques indéterminées	20160	INDCEN	1	16	10	15
FRAGILARIOPHYCEAE						
<i>Fragilaria</i>	9533	FRASPX	0,1			
Diatomées pennées indéterminées	20161	INDPEN			3	
CHAROPHYTA						
ZYGNEMATOPHYCEAE						
<i>Closterium</i>	4751	CLOSPX	0,1			
CHLOROPHYTA						
CHLOROPHYCEAE						
<i>Ankyra lanceolata</i>	9796	ANYLAN			2	
<i>Botryococcus braunii</i>	5599	BOTBRA			257	
<i>Elakatothrix</i>	5662	ELASPX	0,1		1	
<i>Eutetramorus</i>	9202	EUTSPX			3	
<i>Mnoroaphidium komarkovae</i>	5735	MONKOM			1	
<i>Oocystis</i>	5752	OOCSPX		7	16	8
<i>Oocystis elliptica</i>	5756	OCELL			2	
<i>Oocystis solitaria</i>	5759	OCCSOL			2	
<i>Pandorina morum</i>	6046	PADMOR			6	
<i>Pediastrum duplex</i>	5772	PEDDUP			3	
<i>Scenedesmus</i>	1136	SCESPX			1	19
<i>Scenedesmus acuminatus</i>	5804	SCEACM				5
<i>Scenedesmus linearis</i>	25905	SCELIN	0,2		3	
<i>Scenedesmus obliquus</i>	5843	SCEOBL	0,2			
<i>Scenedesmus smithii</i>	5860	SCESM				27
<i>Schroederia setigera</i>	5867	SCRSET			0,4	
<i>Tetrachlorella</i>	9292	TCHSPX				5
<i>Tetrastrum triangulare</i>	9300	TERTRI				22
Chlorococcales indéterminées	24395	INDCHO	1	103	297	54
Volvocales indéterminées	24358	INDVOL	0,1		0,4	
TREBUXIOPHYCEAE						
<i>Dityosphaerium</i>	5645	DICSPX			3	
<i>Dityosphaerium subsolitarium</i>	9192	DICSUB		11	2	
<i>Didymocystis</i>	5651	DIDSPX				5
CRYPTOPHYTA						
CRYPTOPHYCEAE						
<i>Cryptomonas</i>	6269	CRYSPX	0,3	27	10	40
<i>Plagioselmis nannoplantica</i>	9634	PLGNAN		419	3	50
CYANOBACTERIA						
CYANOPHYCEAE						
<i>Oscillatoria</i>	1108	OCSXPX	46			
DINOPHYTA						
DINOPHYCEAE						
<i>Ceratium</i>	4949	CERSPX	0,1		0,4	
<i>Gymnodinium</i>	4925	GYMSPX	0,2		0,4	1
<i>Peridinium willei</i>	6589	PERWIL				109
Dinophycées indéterminées	20162	INDDIN	0,1	3	1	
HETEROKONTOPHYTA						
CHRYSPHYCEAE						
<i>Bitrichia</i>	6110	BITSPX			0,4	
<i>Dinobryon</i>	6124	DINSPX	0,2	1		1
<i>Dinobryon divergens</i>	6130	DINDIV	0,1		109	63
<i>Dinobryon sociale</i>	6136	DINSOC	0,1			
<i>Erkenia subaequiciliata</i>	6149	ERKSUB		30	0,4	
<i>Kephyrion</i>	6150	KEPSPX		7		
Chrysophycées indéterminées	20157	INDCHR			1	82
INDETERMINEES						
Taxons indéterminés	(vide)	INDTAX	1	12	4	30
Densité cellulaire (cell./ml)			54	642	749	560
Nombre de taxons			21	15	34	19

3.2.4. Evolution saisonnière des groupes algaux

Les graphiques suivants présentent la répartition des différents groupes algaux (par embranchement ; basé sur la classification du logiciel phytobs) à partir des densités cellulaires (cell./ml) et des biovolumes algaux (mm^3/l).



Lors des 4 campagnes, les densités cellulaires sont peu élevées ($< 800 \text{ cell./ml}$). Les biovolumes sont également faibles ($< 0,3 \text{ mm}^3/\text{l}$) excepté lors de la 4^{ème} campagne où il est très important ($3,8 \text{ mm}^3/\text{l}$).

En février, la densité est très faible. L'algue dominante est *Oscillatoria* (Cyanobacteria). A la 2^e campagne mars), la densité augmente légèrement avec *Plagioselmis nannoplantica* (Cryptophyta) comme espèce dominante. Habituellement présente dans les plans d'eau peu profonds et meso-eutrophes (Renolds et al. 2002), cette algue se plaît visiblement également dans les lacs profonds.

En juillet, les Cryptophycées (Cryptophyta) sont remplacées par les Chlorophycées (Chlorophyta) dont le développement estival est habituel à cette période. La densité cellulaire est semblable à la 2^e campagne. Par contre la richesse taxonomique augmente et est alors importante avec 34 taxons identifiés dont près de la moitié appartiennent à la classe des Chlorophycées.

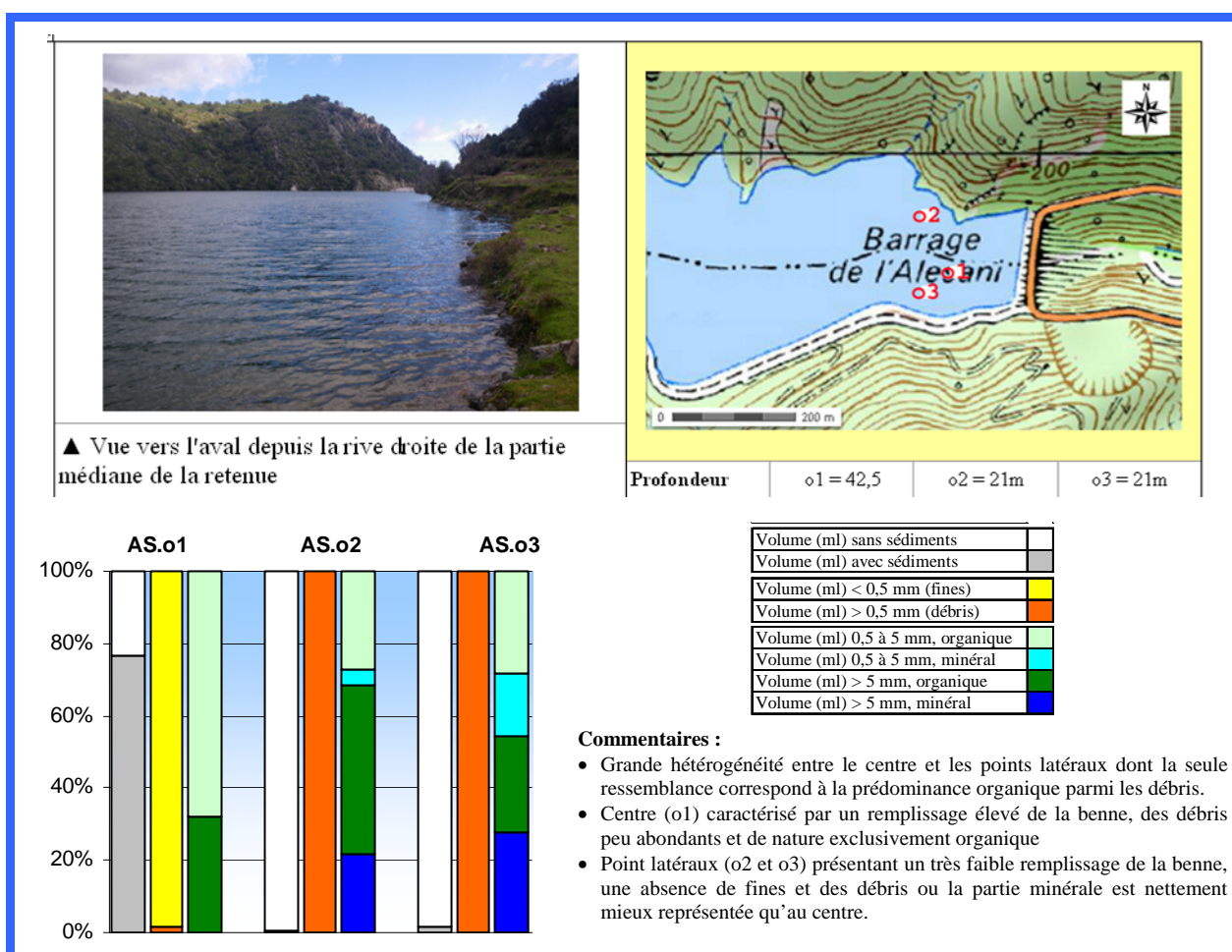
A la 4^e campagne, la densité cellulaire reste faible mais le peuplement est dominé par *Peridinium willei* (Dinophyta ; 96% du biovolume algal), algue de très grande dimension (33 000 μm^3). Cette algue apprécie les milieux stratifiés des lacs mésotrophes (Reynolds et al. 2002). D'après la cote spécifique donnée à cette espèce pour le calcul de l'IPLAC³ (16,84/20), c'est une espèce exigeante.

L'indice planctonique IPL est de 47,7. Cette valeur correspond à un plan d'eau mésotrophe d'après la diagnose rapide et à une classe d'état moyen selon l'arrêté « Evaluation » du 25 janvier 2010. L'IPL est très près de qualifier ce lac d'eutrophe d'après la diagnose rapide, ce qui semble un peu sévère car hormis la dernière campagne (3,8 mm^3/l), les biovolumes algaux ne sont pas très importants (0,04 à 0,2 mm^3/l).

3.3. INVERTEBRES

3.3.1. Conditions de prélèvements

Les caractéristiques des prélèvements, réalisés le 3 avril 2013, sont précisées dans la fiche d'essai en annexe. Seuls quelques éléments (photo, localisation des points et caractéristiques des sédiments) sont repris ci-dessous.



³ Nouvel Indice Phytoplancton Lacustre qui remplacera l'IPL.

3.3.2. IOBL : listes faunistiques et commentaires

Les listes faunistiques se trouvent dans la fiche d'essai en annexe. Les résultats concernant les principaux indicateurs et paramètres retenus (indice IOBL, abondance, % espèces sensibles et richesse) sont repris dans le tableau ci-après.

Indicateurs et paramètres								
	o1	o2	o3	Total		o1	o2	o3
Indice IOBL (selon Afnor NF T90-391)	11,3	0,0	1,9	6,1	Densité (valeur brute - log)	581 - 8,3	0 - 0	1 - 0,9
% Espèces sensibles (selon LAFONT 2007)	0	-	0	0	Biovol. / surface (valeur brute - log)	38,8 - 16,0	0 - 0	<0,04 - <0,2
Richesse taxon. (nb taxons min possible)	3	0	1	1,8	Biovol. / effectif (valeur brute)	66,9	-	< 78,5
Remarques :								
- Total = $\frac{1}{2} o1 + \frac{1}{4} o2 + \frac{1}{4} o3$								
- Densité exprimée par une valeur brute (effectif pour 0,1 m ²) ou par un log selon la formule $[3 \cdot \log_{10} (\text{valeur brute} + 1)]$								
- Biovolume par unité de surface exprimé par une valeur brute (cm ³ d'oligochètes par m ²) ou par un log selon la formule $[10 \cdot \log_{10} (\text{valeur brute} + 1)]$								
- Biovolume par unité d'effectifs exprimé en cm ³ d'oligochètes par 10000 individus (correspond à la taille moyenne des individus)								

Dans la partie la plus profonde de la retenue (point o1), l'indice IOBL est assez élevé et le biovolume par surface se situe à un niveau élevé. La richesse et le pourcentage d'espèces sensibles sont faibles alors que la taille moyenne (biovolume par unité d'effectif) est très élevée.

Par rapport à la zone profonde, les deux points latéraux (o2 et o3) se distinguent par une plus faible valeur de l'indice IOBL et du biovolume par surface.

Ces éléments suggèrent une mauvaise qualité des sédiments profonds associée à un niveau élevé de leur métabolisation. La quantité d'apports trophiques et organiques est donc probablement importante mais il ne semble pas y avoir d'impasse trophique. Cette situation caractérise donc un plan d'eau de type eutrophe.

Par rapport au précédent suivi (2010), l'indice IOBL (14,7 en 2010) a un peu diminué alors que le pourcentage d'espèces sensibles (0% en 2010) des sédiments profonds n'a pas changé. Cette évolution pourrait traduire une tendance vers la dystrophie du plan d'eau.

4. INTERPRETATION GLOBALE DES RESULTATS

Les résultats du suivi 2013 sont analysés par 2 approches :

- selon les critères et méthodes d'évaluation définies par l'arrêté du 25 janvier 2010 pour évaluer l'état écologique ou le potentiel écologique des masses d'eau ;
- selon les outils développés dans la diagnose rapide (CEMAGREF, 2003), axée sur le niveau trophique des plans d'eau.

Les résultats de ces 2 approches sont présentés dans le document « note de synthèse des résultats ».

La seconde approche (diagnose rapide) est adaptée aux caractéristiques du plan d'eau d'Alesani dont la profondeur est importante (42 mètres), qui présente une stratification (de courte durée) en été et dont le temps de séjour est long (5,5 mois).

Les périodes d'intervention 2013 correspondent bien aux préconisations du protocole de la diagnose rapide (4 campagnes correspondant aux cycles thermique et biologique du plan d'eau).

5. ANNEXES

- Liste des micropolluants analysés dans l'eau
- Liste des micropolluants analysés dans le sédiment
- Compte-rendus des campagnes de prélèvements physicochimiques et planctoniques en 2013
- Invertébrés : rapport d'essai

5.1. LISTE DES MICROPOLLUANTS ANALYSES DANS L'EAU

LISTE DES MICROPOLLUANTS RECHERCHES SUR LE SUPPORT EAU

Codes sandre	Libellés des paramètres	Codes sandre	Libellés des paramètres	Codes sandre	Libellés des paramètres
1264	2 4 5 T	1168	Dichlorométhane	6342	Musc xylène
1141	2 4 D	1617	Dichloronitrobenzène-2,3	1881	Myclobutanil
2872	2 4 D isopropyl ester	1616	Dichloronitrobenzène-2,4	1516	Naled
2873	2 4 D méthyl ester	1615	Dichloronitrobenzène-2,5	1517	Naphtalène
1142	2 4 DB	1614	Dichloronitrobenzène-3,4	1519	Napropamide
1212	2 4 MCPA	1613	Dichloronitrobenzène-3,5	1937	Naptalame
1213	2 4 MCPB	2981	Dichlorophène	1520	Néburon
2011	2 6 Dichlorobenzamide	1645	Dichlorophénol-2,3	1386	Nickel
5474	4-n-nonylphénol	1486	Dichlorophénol-2,4	1882	Nicosulfuron
1958	4-nonylphénols ramifiés	1649	Dichlorophénol-2,5	1637	Nitrophénol-2
2610	4-tert-butylphénol	1648	Dichlorophénol-2,6	1669	Norflurazon
1959	4-tert-octylphénol	1647	Dichlorophénol-3,4	2737	Norflurazon desméthyl
1453	Acénaphthène	1646	Dichlorophénol-3,5	1883	Nuarimol
1622	Acénaphthylène	1655	Dichloropropane-1,2	2609	Octabromodiphényléther
5579	Acetamidrid	1654	Dichloropropane-1,3	2027	Olurace
1903	Acétochlorure	2081	Dichloropropane-2,2	1230	Ométhoate
1465	Acide monochloroacétique	2082	Dichloropropène-1,1	1668	Oryzalin
1521	Acide nitrilotriacétique (NTA)	1834	Dichloropropylène-1,3 Cis	2068	Oxadiazol
1970	Acifluorfen	1835	Dichloropropylène-1,3 Trans	1667	Oxadiazon
1688	Acionifen	1653	Dichloropropylène-2,3	1666	Oxadixyl
1310	Acrinathrine	1169	Dichloroprop	1850	Oxamyl
1101	Alachlore	2544	Dichloroprop-P	1231	Oxydéméton méthyl
1102	Aldicarbe	1170	Dichlorvos	1952	Oxyfluorène
1807	Aldicarbe sulfone	1171	Diclofop méthyl	1920	p-(n-octyl)phénol
1806	Aldicarbe sulfoxyde	1172	Dicofof	2545	Pacloubutrazole
1103	Aldrine	5525	Dicrotophos	1522	Paraquat
1697	Alléthrine	2847	Didéméthylisoproturon	1232	Parathion éthyl
1812	Alphaméthrine	1173	Dieldrine	1233	Parathion méthyl
1104	Amétryne	1402	Diéthofencarbe	1242	PCB 101
2012	Amidosulfuron	2826	Diéthylamine	1627	PCB 105
5523	Aminocarbe	2982	Difenacoum	1243	PCB 118
2537	Aminochlorophénol-2,4	1905	Difénoconazole	1089	PCB 126
1105	Aminotriazole	5524	Difénoxuron	1244	PCB 138
1308	Amitraze	1488	Diflubenzuron	1245	PCB 153
1907	AMPA	1814	Diflufenicanil	2032	PCB 156
1458	Anthracène	1870	Diméturon	1090	PCB 169
2013	Anthraquinone	2546	Dimétachlore	1626	PCB 170
1376	Antimoine	1678	Diméthénamide	1246	PCB 180
1368	Argent	1175	Diméthoate	1625	PCB 194
1369	Arsenic	1403	Diméthomorphe	1624	PCB 209
1965	Asulame	2773	Diméthylamine	1239	PCB 28
1107	Atrazine	1641	Diméthylphénol-2,4	1240	PCB 35
1832	Atrazine 2 hydroxy	1698	Dimétian	1628	PCB 44
1109	Atrazine déisopropyl	1871	Diniconazole	1241	PCB 52
1108	Atrazine déséthyl	1578	Dinitrotoluène-2,4	1091	PCB 77
1830	Atrazine déséthyl déisopropyl	1577	Dinitrotoluène-2,6	1762	Penconazole
2014	Azaconazole	5619	Dinocap	1887	Pencycuron
2015	Azaméthiphos	1491	Dinosébe	1234	Pendiméthaline
2937	Azimsulfuron	1176	Dinoterbe	6394	Penoxsulam
1110	Azinphos éthyl	2888	Dioclyletain	1888	Pentachlorobenzène
1111	Azinphos méthyl	5478	Diphenylamine	1235	Pentachlorophénol
1951	Azoxystrobine	2887	Diphenyletain	1523	Perméthrine
1396	Baryum	1699	Diquat	1524	Phénanthrène
2915	BDE100	1492	Disulfoton	1236	Phenméthaphame
2913	BDE138	1966	Dithianon	1525	Phorate
2912	BDE153	1177	Diuron	1237	Phosalone
2911	BDE154	1490	DNOC	1971	Phosmet
1815	BDE209	2933	Dodine	1238	Phosphamidon
2920	BDE28	1493	EDTA	1665	Phoxime
2919	BDE47	1178	Endosulfan alpha	2669	Picoxystrobine
2916	BDE99	1179	Endosulfan beta	1709	Piperonil butoxide
1687	Bénalaxyl	1742	Endosulfan sulfate	1528	Pirimicarbe
1329	Bendiocarbe	1181	Endrine	5531	Pirimicarbe Desméthyl
1112	Benfluraline	1494	Epichlorohydrine	5532	Pirimicarbe Formamido Desméthyl
2924	Benfuracarbe	1744	Epoxiconazole	1382	Plomb
2074	Benoxacor	1182	EPTC	1949	Pretilachlore
1113	Bentazone	1809	Esfenvalérate	1253	Prochloraz
1764	Benthioacarbe	1380	Etain	1664	Procyimidone
1114	Benzène	2093	Ethephon	1889	Profénofos
1607	Benzidine	1763	Ethidimuron	1710	Promécarbe
1082	Benzo (a) Anthracène	5528	Ethiofencarbe sulfone	1711	Prométon
1115	Benzo (a) Pyrène	6534	Ethiofencarbe sulfoxyde	1254	Prométryne
1116	Benzo (b) Fluoranthène	1183	Ethion	1712	Propachlore
1118	Benzo (ghi) Pérylène	1874	Ethiophencarbe	6398	Propamocarb
1117	Benzo (k) Fluoranthène	1184	Ethofumésate	1532	Propanil
1377	Beryllium	1495	Ethoprophos	1972	Propaquizafop
3209	Beta cyfluthrine	1497	Ethylbenzène	1255	Propargite
1119	Bifénox	5648	Ethylène ThioUrée	1256	Propazine
1120	Bifenthrine	6601	EthylèneUrée	5968	Propazine 2-hydroxy
1502	Bioresméthrine	2020	Famoxadone	1533	Propéamphos
1584	Biphényle	2057	Fénamidone	1534	Prophame
1529	Bitertanol	1185	Fénarimol	1257	Propiconazole
1362	Bore	2742	Fénazaquin	1535	Propoxur
5526	Boscalid	1906	Fenbuconazole	6214	Propylène thiouree
1686	Bromacil	1186	Fenclorphos	1414	Propyzamide
1859	Bromadiolone	2743	Fenhexamid	1092	Prosulfocarbe
1121	Bromochlorométhane	1187	Fénitrothion	2534	Prosulfuron
1122	Bromoforme	5970	Fénothiocarbe	5603	Prothioconazole
1123	Bromophos éthyl	1973	Fénoxaprop éthyl	5416	Pymétrozine
1124	Bromophos méthyl	1967	Fénoxycarbe	2576	Pyraclostrobin
1685	Bromopropylate	1188	Fenpropathrine	1258	Pyrazophos
1125	Bromoxynil	1700	Fenpropidine	6530	Pyrazoxyfen
1941	Bromoxynil octanoate	1189	Fenpropimorphe	1537	Pyrène
1860	Bromuconazole	1190	Fenthion	1890	Pyridabène
1861	Bupirimate	1500	Fénuron	1259	Pyridate
1862	Buprofézine	2021	Ferbam	1663	Pyrifénox
1126	Butraline	2009	Fipronil	1432	Pyriméthanyl
1531	Buturon	1840	Fiamprop-isopropyl	1260	Pyrimiphos éthyl
1388	Cadmium	6539	Fiamprop-méthyl	1261	Pyrimiphos méthyl
1863	Cadusafos	1939	Flazasulfuron	1891	Quinalphos
1127	Captafol	6393	Flonicamid	2087	Quinmerac
1128	Captane	2810	Florasulam	2028	Quinoxifen
1463	Carbaryl	1825	Fluazifop-butyl	1538	Quintozène
1129	Carbendazime	2022	Fludioxonil	2069	Quizalofop
1333	Carbétamide	1676	Flufénoxuron	2070	Quizalofop éthyl
1130	Carbofuran	2023	Flumioxazine	1892	Rimsulfuron
1805	Carbofuran 3 hydroxy	1501	Fluométron	2029	Roténone
1131	Carbophénothion	1191	Fluoranthène	2974	S Métolachlore
1864	Carbosulfan	1623	Fluorène	1923	Sébuthylazine
2976	Carfentrazone-ethyl	2565	Flupyrasulfuron methyle	1262	Secbumeton
1865	Chinométhionate	2056	Fluquinconazole	1385	Sélium
1336	Chlorbutafame	1974	Fluridone	1893	Siduron

Codes sandre	Libellés des paramètres	Codes sandre	Libellés des paramètres	Codes sandre	Libellés des paramètres
7010	Chlordane alpha	1675	Flurochloridone	1348	Silice
1757	Chlordane beta	1765	Fluroxyppr	1263	Simazine
1866	Chlordécone	2547	Fluroxyppr-meptyl	1831	Simazine hydroxy
1464	Chlorfenvinphos	2024	Flurprimidol	5477	Simétryne
2950	Chlorfluazuron	2008	Flurtamone	2664	Spiroxamine
1133	Chloridazone	1194	Flusilazole	1662	Sulcotrione
1134	Chlorméphos	2985	Flutolanil	2085	Sulfosufuron
5554	Chlormequat	1503	Flutriafol	1894	Sulfotep
1955	Chloroalcanes C10-C13	1192	Folpel	1193	Taufluvinate
1593	Chloroaniline-2	2075	Fomesafen	1694	Tébuconazole
1592	Chloroaniline-3	1674	Fonofos	1895	Tébufénozide
1591	Chloroaniline-4	1702	Formaldéhyde	1896	Tébufenpyrad
1467	Chlorobenzène	1504	Formothion	1661	Tébutame
2016	Chlorobromuron	1975	Foséthyl aluminium	1897	Téflubenzuron
1612	Chlorodinitrobenzène-1,2,4	1908	Furalaxyl	2559	Tellure
1135	Chloroforme (Trichlorométhane)	2567	Furathiocarbe	1898	Téméphos
1635	Chlorométhylphénol-2,5	1526	Glufosinate	1659	Terbacile
2759	Chlorométhylphénol-2,6	1506	Glyphosate	1266	Terbuméton
1636	Chlorométhylphénol-4,3	2047	Haloxyfop	1267	Terbuphos
1603	Chloronaphtalène-1	1909	Haloxyfop-R	1268	Terbuthylazine
1604	Chloronaphtalène-2	1200	HCH alpha	2045	Terbuthylazine déséthyl
1341	Chloronébe	1201	HCH beta	1954	Terbuthylazine hydroxy
1594	Chloronitroaniline-4,2	1202	HCH delta	1269	Terbutryne
1469	Chloronitrobenzène-1,2	2046	HCH epsilon	1936	Tetrabutylétain
1468	Chloronitrobenzène-1,3	1203	HCH gamma	1270	Tétrachloréthane-1,1,1,2
1470	Chloronitrobenzène-1,4	1197	Heptachlore	1271	Tétrachloréthane-1,1,2,2
1605	Chloronitrotoluène-4,2	1748	Heptachlore époxyde cis	1272	Tétrachloréthylène
1684	Chlorophacinone	1749	Heptachlore époxyde trans	2735	Tétrachlorobenzène
1471	Chlorophénol-2	1910	Heptenophos	2010	Tétrachlorobenzène-1,2,3,4
1651	Chlorophénol-3	1199	Hexachlorobenzène	2536	Tétrachlorobenzène-1,2,3,5
1650	Chlorophénol-4	1652	Hexachlorobutadiène	1631	Tétrachlorobenzène-1,2,4,5
2611	Chloroprène	1656	Hexachloroéthane	1273	Tétrachlorophénol-2,3,4,5
2065	Chloropropène-3	1405	Hexaconazole	1274	Tétrachlorophénol-2,3,4,6
1473	Chlorothalonil	1875	Hexaflumuron	1275	Tétrachlorophénol-2,3,5,6
1602	Chlorotoluène-2	1673	Hexazinone	1276	Tétrachlorure de C
1601	Chlorotoluène-3	1876	Hexythiazox	1277	Tétrachlorvinphos
1600	Chlorotoluène-4	1704	Imazail	1660	Tétraconazole
1683	Chloroxuron	1911	Imazaméthabenz méthyl	1900	Tétradifon
1474	Chlorprophame	2860	IMAZAQUINE	5249	Tétraphénylétain
1083	Chlorpyrifos éthyl	1877	Imidaclopride	2555	Thallium
1540	Chlorpyrifos méthyl	1204	Indéno (123c) Pyrène	1713	Thiabendazole
1353	Chlorsulfuron	2025	Iodofenphos	6390	Thiamethoxam
2966	Chlorthal diméthyl	2563	Iodosulfuron	1714	Thiazasulfuron
1813	Chlorthiamide	1205	Ioxynil	1913	Thifensulfuron méthyl
1136	Chlortoluron	2871	Ioxynil méthyl ester	1093	Thiodicarbe
1579	Chlorure de Benzyle	1942	Ioxynil octanoate	1715	Thiofanox
2715	Chlorure de Benzylidène	1206	Iprodione	5476	Thiofanox sulfone
2977	CHLORURE DE CHOLINE	2951	Iprovalicarbe	5475	Thiofanox sulfoxyde
1753	Chlorure de vinyle	1976	Isazofos	2071	Thiométon
1389	Chrome	1207	Isodrine	1718	Thirame
1476	Chrysène	1829	Isofenphos	1373	Titane
5481	Cinosulfuron	1633	Isopropylbenzène	1278	Toluène
2095	Clodinafop-propargyl	1208	Isoproturon	1719	Tolyfluanide
2017	Clomazone	2722	Isothiocyanate de methyle	1658	Tralométhrine
1810	Clopyralide	1672	Isoxaben	1544	Triadiméfon
2018	Cloquintocet mexyl	1945	Isoxaflutol	1280	Triadiménon
1379	Cobalt	1950	Kresoxim méthyl	1281	Triallate
1682	Coumaphos	1094	Lambda Cyhalothrine	1914	Triasulfuron
2019	Coumatétralyl	1406	Lénacile	1901	Triazamate
1639	Crésol-méta	1209	Linuron	1657	Triazophos
1640	Crésol-ortho	2026	Lufénuron	2990	Triazoxide
1638	Crésol-para	1210	Malathion	2064	Tribenuron-Méthyle
1392	Cuivre	6399	Mandipropamid	2879	Tributylétain cation
1137	Cyanazine	2745	MCPA-1-butyl ester	1847	Tributylphosphate
2729	CYCLOXYDIME	2746	MCPA-2-ethylhexyl ester	1288	Trichlopyr
1696	Cyfluron	2747	MCPA-butoxyethyl ester	1284	Trichloréthane-1,1,1
1681	Cyfluthrine	2748	MCPA-ethyl-ester	1285	Trichloréthane-1,1,2
1139	Cymoxanil	2749	MCPA-méthyl-ester	1286	Trichloréthylène
1140	Cyperméthrine	1214	Mécoprop	1287	Trichlorfon
1680	Cyproconazole	2870	Mecoprop n isobutyl ester	2734	Trichloroaniline-2,3,4
1359	Cyprodinil	2750	Mecoprop-1-octyl ester	7017	Trichloroaniline-2,3,5
5930	Daimuron	2751	Mecoprop-2,4,4-triméthylphenyl es	2732	Trichloroaniline-2,4,5
1929	DCPMU (métabolite du Diuron)	2752	Mecoprop-2-butoxyethyl ester	1595	Trichloroaniline-2,4,6
1930	DCPU (métabolite Diuron)	2753	Mecoprop-2-ethylhexyl ester	1630	Trichlorobenzène-1,2,3
1143	DDD-o,p'	2754	Mecoprop-2-octyl ester	1283	Trichlorobenzène-1,2,4
1144	DDD-p,p'	2755	Mecoprop-méthyl ester	1629	Trichlorobenzène-1,3,5
1145	DDE-o,p'	1968	Méfenacet	1195	Trichlorofluorométhane
1146	DDE-p,p'	2568	Mefluidide	1644	Trichlorophénol-2,3,4
1147	DDT-o,p'	1969	Mépiquat	1643	Trichlorophénol-2,3,5
1148	DDT-p,p'	1878	Mépronil	1642	Trichlorophénol-2,3,6
6616	DEHP	1510	Mercaptodiméthur	1548	Trichlorophénol-2,4,5
1149	Deltaméthrine	1387	Mercure	1549	Trichlorophénol-2,4,6
1550	Déméton O + S	2578	Mesosulfuron méthyle	1854	Trichloropropane-1,2,3
1153	Déméton S méthyl	2076	Mésotrione	1196	Trichlorotrifluoroéthane-1,1,2
1154	Déméton S méthyl sulfone	1706	Métalaxyl	2898	Tricyclazole
1155	Desmétryne	1796	Métaldéhyde	2885	Tricyclohexylétain cation
1156	Diallate	1215	Métamitron	5842	Trietazine
1157	Diazinon	1670	Métazachlore	6102	Trietazine 2-hydroxy
1621	Dibenzo (ah) Anthracène	1879	Metconazole	5971	Trietazine desethyl
1158	Dibromochlorométhane	1216	Méthabenzthiazuron	2678	Trifloxystrobine
1498	Dibromoéthane-1,2	1671	Méthamidophos	1902	Triflumuron
1513	Dibromométhane	1217	Méthidathion	1289	Trifluraline
7074	Dibutylétain cation	1218	Méthomyl	1802	Triforine
1480	Dicamba	1511	Méthoxychlore	2096	Trinexapac-ethyl
1679	Dichlobénil	1619	Méthyl-2-Fluoranthène	2886	Triocylétain cation
1159	Dichlofenthion	1618	Méthyl-2-Naphtalène	6372	Triphenylétain cation
1360	Dichlofluanide	1515	Métobromuron	2992	Triconazole
1160	Dichloréthane-1,1	1221	Métolachlore	1361	Uranium
1161	Dichloréthane-1,2	1912	Métosulame	1290	Vamidothion
1162	Dichloréthylène-1,1	1222	Métoxuron	1384	Vanadium
1456	Dichloréthylène-1,2 cis	5654	Metrafenone	1291	Vinclozoline
1727	Dichloréthylène-1,2 trans	1225	Métribuzine	1293	Xylène-meta
1590	Dichloroaniline-2,3	1797	Metsulfuron méthyl	1292	Xylène-ortho
1589	Dichloroaniline-2,4	1226	Mévinphos	1294	Xylène-para
1588	Dichloroaniline-2,5	1707	Molinate	2925	Xylènes (m+p)
1587	Dichloroaniline-2,6	1395	Molybdène	1383	Zinc
1586	Dichloroaniline-3,4	2542	Monobutylétain cation	1722	Zirame
1585	Dichloroaniline-3,5	1880	Monocrotophos	2858	Zoxamide
1165	Dichlorobenzène-1,2	1227	Monolinuron		
1164	Dichlorobenzène-1,3	2890	Monooctylétain		
1166	Dichlorobenzène-1,4	2889	Monophenylétain		
1167	Dichlorobromométhane	1228	Monuron		

5.2. LISTE DES MICROPOLLUANTS ANALYSES DANS LE SEDIMENT

LISTE DES MICROPOLLUANTS RECHERCHES SUR LE SUPPORT SEDIMENT

Codes sandre	Libellés des paramètres	Codes sandre	Libellés des paramètres	Codes sandre	Libellés des paramètres
5474	4-n-nonylphénol	1167	Dichlorobromométhane	1414	Propyzamide
1958	4-nonylphénols ramifiés	1168	Dichlorométhane	1537	Pyrène
2610	4-tert-butylphénol	1617	Dichloronitrobenzène-2,3	1385	Sélénium
1959	4-tert-octylphénol	1616	Dichloronitrobenzène-2,4	1694	Tébuconazole
1453	Acénaphène	1615	Dichloronitrobenzène-2,5	1661	Tébutame
1622	Acénaphylène	1614	Dichloronitrobenzène-3,4	2559	Tellure
1903	Acétochlore	1613	Dichloronitrobenzène-3,5	1268	Terbutylazine
1688	Aclofen	1645	Dichlorophénol-2,3	1269	Terbutryne
1103	Aldrine	1486	Dichlorophénol-2,4	1936	Tetrabutyletain
1370	Aluminium	1649	Dichlorophénol-2,5	1270	Tétrachloréthane-1,1,1,2
2537	Aminochlorophénol-2,4	1648	Dichlorophénol-2,6	1271	Tétrachloréthane-1,1,2,2
1458	Anthracène	1647	Dichlorophénol-3,4	1272	Tétrachloréthylène
1376	Antimoine	1646	Dichlorophénol-3,5	2010	Tétrachlorobenzène-1,2,3,4
1368	Argent	1655	Dichloropropane-1,2	2536	Tétrachlorobenzène-1,2,3,5
1369	Arsenic	1654	Dichloropropane-1,3	1631	Tétrachlorobenzène-1,2,4,5
1110	Azinphos éthyl	2081	Dichloropropane-2,2	1273	Tétrachlorophénol-2,3,4,5
1396	Baryum	2082	Dichloropropène-1,1	1274	Tétrachlorophénol-2,3,4,6
2915	BDE100	1487	Dichloropropylène-1,3 (cis + trans)	1275	Tétrachlorophénol-2,3,5,6
2913	BDE138	1653	Dichloropropylène-2,3	1276	Tétrachlorure de C
2912	BDE153	1169	Dichlorprop	1660	Tétraconazole
2911	BDE154	1173	Dieldrine	2555	Thallium
1815	BDE209	1814	Di-flu-fénicanil	1373	Titane
2920	BDE28	1641	Diméthylphénol-2,4	1278	Toluène
2919	BDE47	1578	Dinitrotoluène-2,4	2879	Tributyletain cation
2916	BDE99	1577	Dinitrotoluène-2,6	1847	Tributylphosphate
1114	Benzène	2888	Diocyletain	1284	Trichloréthane-1,1,1
1607	Benzidine	2887	Diphenyletain	1285	Trichloréthane-1,1,2
1082	Benzo (a) Anthracène	1178	Endosulfan alpha	1286	Trichloréthylène
1115	Benzo (a) Pyrène	1179	Endosulfan beta	2734	Trichloroaniline-2,3,4
1116	Benzo (b) Fluoranthène	1742	Endosulfan sulfate	7017	Trichloroaniline-2,3,5
1118	Benzo (ghi) Pérylène	1181	Endrine	2732	Trichloroaniline-2,4,5
1117	Benzo (k) Fluoranthène	1744	Epoxiconazole	1595	Trichloroaniline-2,4,6
1377	Beryllium	1380	Étain	1630	Trichlorobenzène-1,2,3
1584	Biphényle	1497	Ethylbenzène	1283	Trichlorobenzène-1,2,4
1362	Bore	1187	Fénitrothion	1629	Trichlorobenzène-1,3,5
1122	Bromoforme	1967	Fénoxy-carbe	1195	Trichlorofluorométhane
1125	Bromoxnyl	1393	Fer	1644	Trichlorophénol-2,3,4
1941	Bromoxnyl octanoate	2022	Fludioxonil	1643	Trichlorophénol-2,3,5
1388	Cadmium	1191	Fluoranthène	1642	Trichlorophénol-2,3,6
1464	Chlorfenvinphos	1623	Fluorène	1548	Trichlorophénol-2,4,5
1134	Chlorméphos	2547	Fluroxy-pyr-meptyl	1549	Trichlorophénol-2,4,6
1606	Chloro-2-p-toluidine	1194	Flusilazole	1723	Trichlorophénol-3,4,5
1955	Chloroalcanes C10-C13	1200	HCH alpha	1196	Trichlorotrifluoroéthane-1,1,2
1593	Chloroaniline-2	1201	HCH beta	2885	Tricyclohexyletain cation
1592	Chloroaniline-3	1202	HCH delta	1289	Trifluraline
1591	Chloroaniline-4	2046	HCH epsilon	2736	Trinitrotoluène
1467	Chlorobenzène	1203	HCH gamma	2886	Triocyletain cation
1612	Chlorodinitrobenzène-1,2,4	1197	Heptachlore	6372	Triphenyletain cation
1135	Chloroforme (Trichlorométhane)	1198	Heptachlore époxyde (cis +trans)	1361	Uranium
1635	Chlorométhylphénol-2,5	1199	Hexachlorobenzène	1384	Vanadium
2759	Chlorométhylphénol-2,6	1652	Hexachlorobutadiène	1293	Xylène-meta
1636	Chlorométhylphénol-4,3	1656	Hexachloroéthane	1292	Xylène-ortho
1603	Chloronaphtalène-1	1405	Hexaconazole	1294	Xylène-para
1604	Chloronaphtalène-2	1204	Indéno (123c) Pyrène	1383	Zinc
1594	Chloronitroaniline-4,2	1206	Iprodione		
1469	Chloronitrobenzène-1,2	1207	Isodrine		
1468	Chloronitrobenzène-1,3	1633	Isopropylbenzène		
1470	Chloronitrobenzène-1,4	1950	Kresoxim méthyl		
1605	Chloronitrotoluène-4,2	1094	Lambda Cyhalothrine		
1471	Chlorophénol-2	1209	Linuron		
1651	Chlorophénol-3	1394	Manganèse		
1650	Chlorophénol-4	1387	Mercuré		
2611	Chloroprène	1619	Méthyl-2-Fluoranthène		
2065	Chloropropène-3	1618	Méthyl-2-Naphtalène		
1602	Chlorotoluène-2	1395	Molybdène		
1601	Chlorotoluène-3	2542	Monobutyletain cation		
1600	Chlorotoluène-4	2890	Monooctyletain		
1474	Chloropropane	2889	Monophenyletain		
1083	Chlorpyrifos éthyl	1517	Naphtalène		
1540	Chlorpyrifos méthyl	1519	Napropamide		
1579	Chlorure de Benzyle	1386	Nickel		
2715	Chlorure de Benzylidène	1637	Nitrophénol-2		
1389	Chrome	1957	Nonylphénols		
1476	Chrysène	2609	Octabromodiphényléther		
1379	Cobalt	1667	Oxadiazon		
1639	Crésol-méta	1920	p-(n-octyl)phénol		
1640	Crésol-ortho	1232	Parathion éthyl		
1638	Crésol-para	1242	PCB 101		
1392	Cuivre	1627	PCB 105		
1359	Cyprodinil	5433	PCB 114		
1143	DDD-o.p'	1243	PCB 118		
1144	DDD-p.p'	5434	PCB 123		
1145	DDE-o.p'	1089	PCB 126		
1146	DDE-p.p'	1244	PCB 138		
1147	DDT-o.p'	1245	PCB 153		
1148	DDT-p.p'	2032	PCB 156		

LISTE DES MICROPOLLUANTS RECHERCHES SUR LE SUPPORT SEDIMENT

Codes sandre	Libellés des paramètres	Codes sandre	Libellés des paramètres	Codes sandre	Libellés des paramètres
6616	DEHP	5435	PCB 157		
1149	Deltaméthrine	5436	PCB 167		
1157	Diazinon	1090	PCB 169		
1621	Dibenzo (ah) Anthracène	1626	PCB 170		
1158	Dibromochlorométhane	1246	PCB 180		
1498	Dibromoéthane-1,2	5437	PCB 189		
7074	Dibutyletain cation	1625	PCB 194		
1160	Dichloréthane-1,1	1624	PCB 209		
1161	Dichloréthane-1,2	1239	PCB 28		
1162	Dichloréthylène-1,1	1240	PCB 35		
1456	Dichloréthylène-1,2 cis	1628	PCB 44		
1727	Dichloréthylène-1,2 trans	1241	PCB 52		
1590	Dichloroaniline-2,3	1091	PCB 77		
1589	Dichloroaniline-2,4	5432	PCB 81		
1588	Dichloroaniline-2,5	1234	Pendiméthaline		
1587	Dichloroaniline-2,6	1921	Pentabromodiphényléther		
1586	Dichloroaniline-3,4	1888	Pentachlorobenzène		
1585	Dichloroaniline-3,5	1235	Pentachlorophénol		
1165	Dichlorobenzène-1,2	1524	Phénanthrène		
1164	Dichlorobenzène-1,3	1382	Plomb		
1166	Dichlorobenzène-1,4	1664	Procymidone		

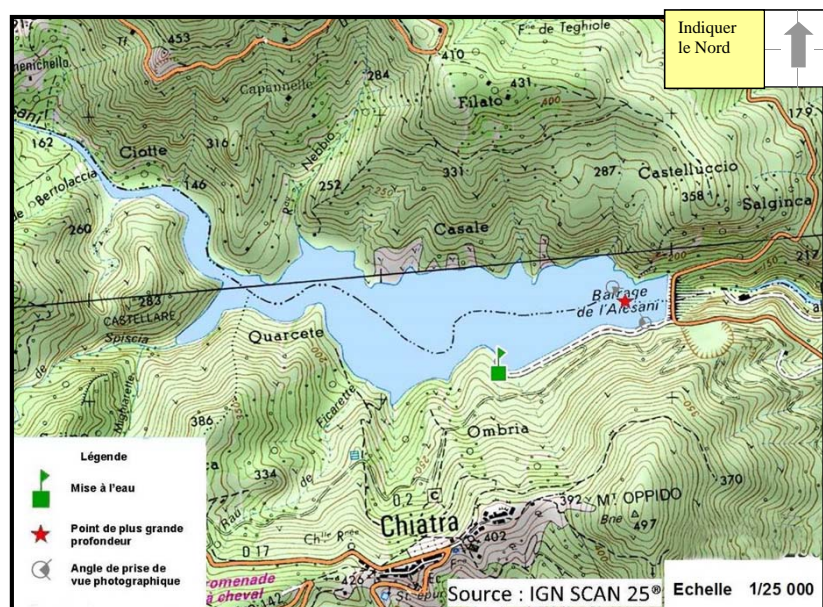
5.3. COMPTE-RENDUS DES CAMPAGNES DE PRELEVEMENTS (PHYSICOCHIMIE ET PHYTOPLANCTON)

Plan d'eau :	ALESANI	Date :	26/02/2013
Nom station :	Point de plus grande profondeur	Code station :	Y9205023
Organisme / opérateur :	AQUASCOF / A. Robé - A. Corbarieu	Réf. dossier :	8049

LOCALISATION PLAN D'EAU

Commune :	Chiatra Di Verde		
Plan d'eau marnant :	oui	Superficie du bassin versant :	km ²
HER :	16 - Corse	Superficie du plan d'eau :	0,47 km ²
Profondeur maximale :	60 m	Profondeur moyenne :	m

Carte :
 (extrait IGN 1/25 000 éme)



LOCALISATION STATION

Coordonnées du point :	relevées sur :	GPS		
Lambert 93 (système français) :	(en m)	X	Y	Altitude
		1234920	6155130	150
WGS 84 (système international) :	données GPS (en dms)	N	E	Altitude (m)
		42°17'54,5"	009°28'59,3"	150
Profondeur :	35 m			

Photos du site :
 (indiquer l'angle de prise de vue sur la carte)



Remarques et observations :

Point de plus grande profondeur légèrement décalé (environ 120 m) vers le barrage par rapport à la fiche station
 Niveau du plan d'eau bas (environ 10-15 m de marnage)

Plan d'eau :	ALESANI	Date :	26/02/2013
Station ou n° d'échantillon :	Point de plus grande profondeur	Code lac :	Y9205023
Organisme / opérateur :	AQUASCOP / Antoine Robé - Arnaud Corbarieu	Réf. dossier :	8049

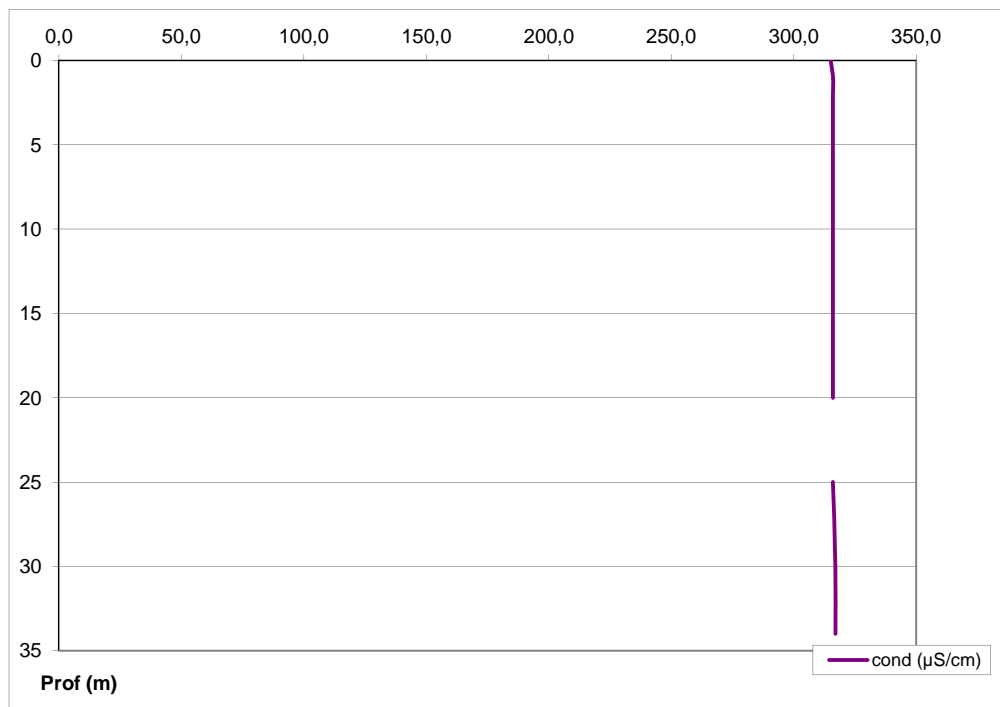
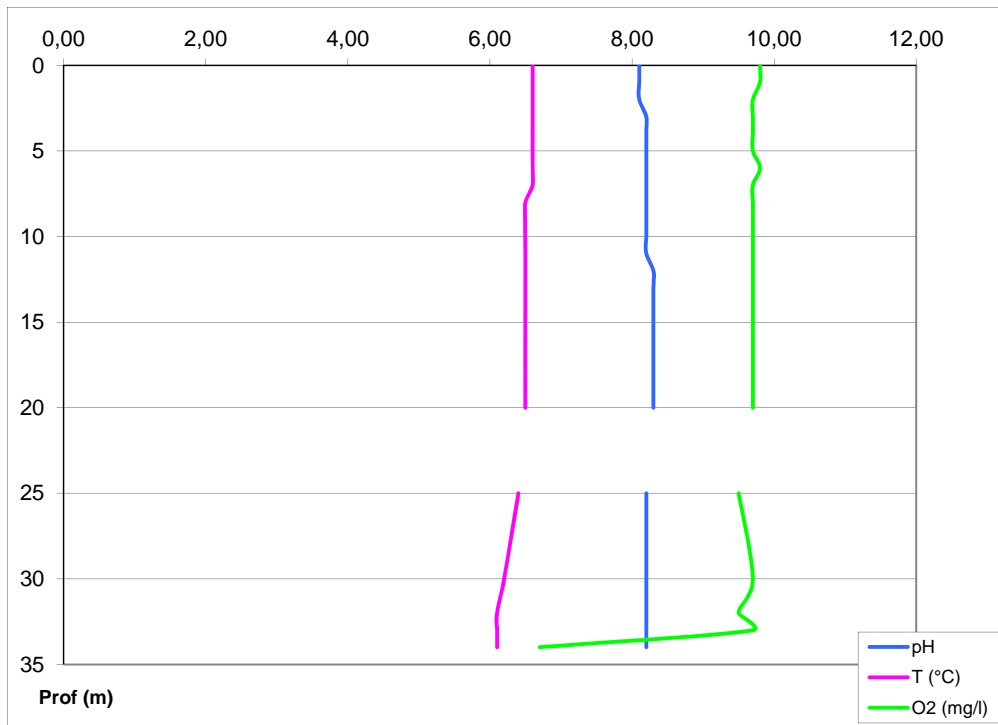
STATION					
Coordonnées de la station	relevées sur :	GPS			
Lambert 93 (système français)	(en m)	X	Y	Altitude (m) :	150,0
		1234920	6155130		
WGS 84 (système international)	données GPS (en dms)	N	E	Altitude (m) :	150,0
		42°17'54,5"	009°28'59,3"		
Profondeur (m) :	34,5				
Conditions d'observation :	Instensité du vent :	nul			
	météo :	temps sec ensoleillé			
	Surface de l'eau :	lisse			
	Hauteur des vagues :	m			
	Bloom algal :	non			
Marnage :	oui	niveau des eaux par rapport à la végétation de ceinture (pour les plans d'eau marnant) :	15	m	
Remarques :	Hauteur des vagues : 0 m (lorsque le champs hauteur des vagues est vide cela signifie que la valeur est égale à 0)				

PRELEVEMENTS					
Heure début de relevé :	9:20		Heure de fin de relevé :	11:20	
Prélèvements réalisés :	<input checked="" type="checkbox"/> phytoplancton <input checked="" type="checkbox"/> chlorophylle <input checked="" type="checkbox"/> eau <input type="checkbox"/> sédiment <input type="checkbox"/> macrophytes <input type="checkbox"/> oligochètes <input type="checkbox"/> autres, préciser :		Matériel employé :	<input type="checkbox"/> bouteille intégratrice <input checked="" type="checkbox"/> bouteille Van Dorn <input type="checkbox"/> pompe	
			Volume filtré pour la chlorophylle (ml) :	1000	
			Volume de Lugol ajouté pour le phytoplancton (ml) :	5	
Remarques, observations :	<p>Prélèvement intégré pour le phytoplancton et la chlorophylle : technique du tuyau Prélèvement intégré physico-chimie et micropolluants : bouteille type Niskin - 6 prélèvements ponctuels Prélèvement de fond : bouteille type Niskin - effectué à 33 m</p> <p>Point de plus grande profondeur légèrement décalé (environ 120 m) vers le barrage par rapport à la fiche station</p> <p>Dépôt des échantillons au transporteur : le 27/02/2013 à 12h00</p>				

Plan d'eau :	ALESANI	Date :	26/02/2013
Station ou n° d'échantillon :	Point de plus grande profondeur	Code lac :	Y9205023
Organisme / opérateur :	AQUASCOP / Antoine Robé - Arnaud Corbarieu	Réf. dossier :	8049

TRANSPARENCE			
Secchi en m :	4,3	Zone euphotique (2,5 x Secchi) en m :	10,75

PROFIL VERTICAL								
Moyen utilisé :	mesures in-situ à chaque prof.							
Echantillon phytoplancton ?	Prof (m)	Temp (°C)	pH	Conductivité à 25°C (µS.cm ⁻¹)	O ₂ (%)	O ₂ (mg/l)	Chlorophylle µg/l	Heure
<input checked="" type="checkbox"/>	Intégré de 0 à .. 10,75	6,6	8,20	316,0	94,0	9,7		10:30
<input type="checkbox"/>	0	6,6	8,10	315,0	94,4	9,8		9h30
<input type="checkbox"/>	1	6,6	8,10	316,0	94,4	9,8		9h32
<input type="checkbox"/>	2	6,6	8,10	316,0	94,4	9,7		9h34
<input type="checkbox"/>	3	6,6	8,20	316,0	94,0	9,7		9h36
<input type="checkbox"/>	4	6,6	8,20	316,0	94,0	9,7		9h39
<input type="checkbox"/>	5	6,6	8,20	316,0	94,0	9,7		9h40
<input type="checkbox"/>	6	6,6	8,20	316,0	94,4	9,8		9h42
<input type="checkbox"/>	7	6,6	8,20	316,0	94,0	9,7		9h44
<input type="checkbox"/>	8	6,5	8,20	316,0	94,1	9,7		9h46
<input type="checkbox"/>	9	6,5	8,20	316,0	94,0	9,7		9h48
<input type="checkbox"/>	10	6,5	8,20	316,0	94,0	9,7		9h50
<input type="checkbox"/>	11	6,5	8,20	316,0	94,1	9,7		9h52
<input type="checkbox"/>	12	6,5	8,30	316,0	93,7	9,7		9h55
<input type="checkbox"/>	13	6,5	8,30	316,0	93,7	9,7		9h56
<input type="checkbox"/>	14	6,5	8,30	316,0	93,7	9,7		9h58
<input type="checkbox"/>	15	6,5	8,30	316,0	93,7	9,7		10h00
<input type="checkbox"/>	16	6,5	8,30	316,0	93,7	9,7		10h02
<input type="checkbox"/>	17	6,5	8,30	316,0	93,6	9,7		10h03
<input type="checkbox"/>	18	6,5	8,30	316,0	94,1	9,7		10h04
<input type="checkbox"/>	19	6,5	8,30	316,0	93,7	9,7		10h06
<input type="checkbox"/>	20	6,5	8,30	316,0	93,8	9,7		10h08
<input type="checkbox"/>	21							
<input type="checkbox"/>	22							
<input type="checkbox"/>	23							
<input type="checkbox"/>	24							
<input type="checkbox"/>	25							
<input type="checkbox"/>	26							
<input type="checkbox"/>	27							
<input type="checkbox"/>	28							
<input type="checkbox"/>	29							
<input type="checkbox"/>	30							
<input type="checkbox"/>	31							
<input type="checkbox"/>	32							
<input type="checkbox"/>	33							
<input type="checkbox"/>	34							
<input type="checkbox"/>	35							
<input type="checkbox"/>	36							
<input type="checkbox"/>	37							
<input type="checkbox"/>	38							
<input type="checkbox"/>	39							
<input type="checkbox"/>	40							
<input type="checkbox"/>	41							
<input type="checkbox"/>	42							
<input type="checkbox"/>	43							
<input type="checkbox"/>	44							
<input type="checkbox"/>	45							
<input type="checkbox"/>	46							
<input type="checkbox"/>	47							
Echantillon phytoplancton ?	Prof (m)	Temp (°C)	pH	Conductivité à 25°C (µS.cm ⁻¹)	O ₂ (%)	O ₂ (mg/l)	Chlorophylle µg/l	Heure
<input type="checkbox"/>	25	6,4	8,20	316,0	91,8	9,5		10h10



Plan d'eau :	ALESANI	Date :	15/05/2013
Nom station :	Point de plus grande profondeur	Code station :	Y9205023
Organisme / opérateur :	AQUASCOP / A. Robé - V. Bouchareychas	Réf. dossier :	8049

LOCALISATION PLAN D'EAU

Commune :	Chiatria Di Verde		
Plan d'eau marnant :	oui	Superficie du bassin versant :	km ²
HER :	16 - Corse	Superficie du plan d'eau :	0,47 km ²
Profondeur maximale :	60 m	Profondeur moyenne :	m

Carte :
(extrait IGN 1/25 000 éme)

Indiquer le Nord ↑

Légende
 ■ mise à l'eau
 ★ point de plus grande profondeur
 📷 angle de prise de vue photographique

source scan 25 IGN

LOCALISATION STATION

Coordonnées du point :	relevées sur :	GPS		
Lambert 93 (système français) :	(en m)	X	Y	Altitude
		1234917	6155118	166
WGS 84 (système international) :	données GPS (en dms)	N	E	Altitude (m)
		42°17'54,3"	009°28'59,2"	166
Profondeur :	42	m		

Photos du site :
(indiquer l'angle de prise de vue sur la carte)

Remarques et observations :	Eau très claire Retenue pleine
-----------------------------	-----------------------------------

Plan d'eau :	ALESANI	Date :	15/05/2013
Station ou n° d'échantillon :	Point de plus grande profondeur	Code lac :	Y9205023
Organisme / opérateur :	AQUASCOP / Antoine Robé - V.Bouchareychas	Réf. dossier :	8049

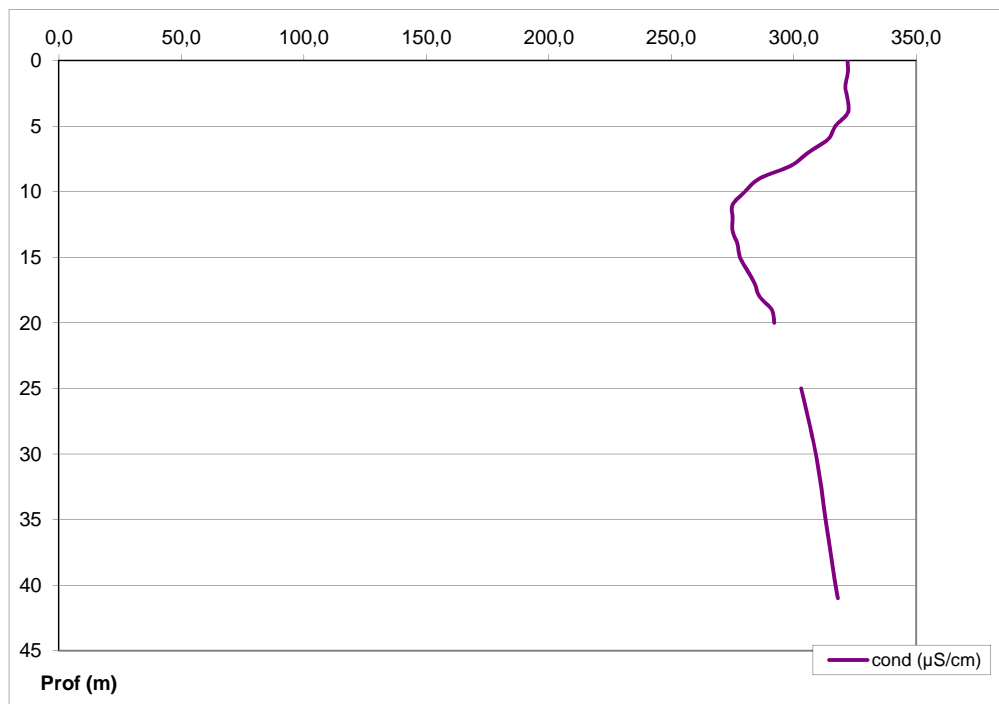
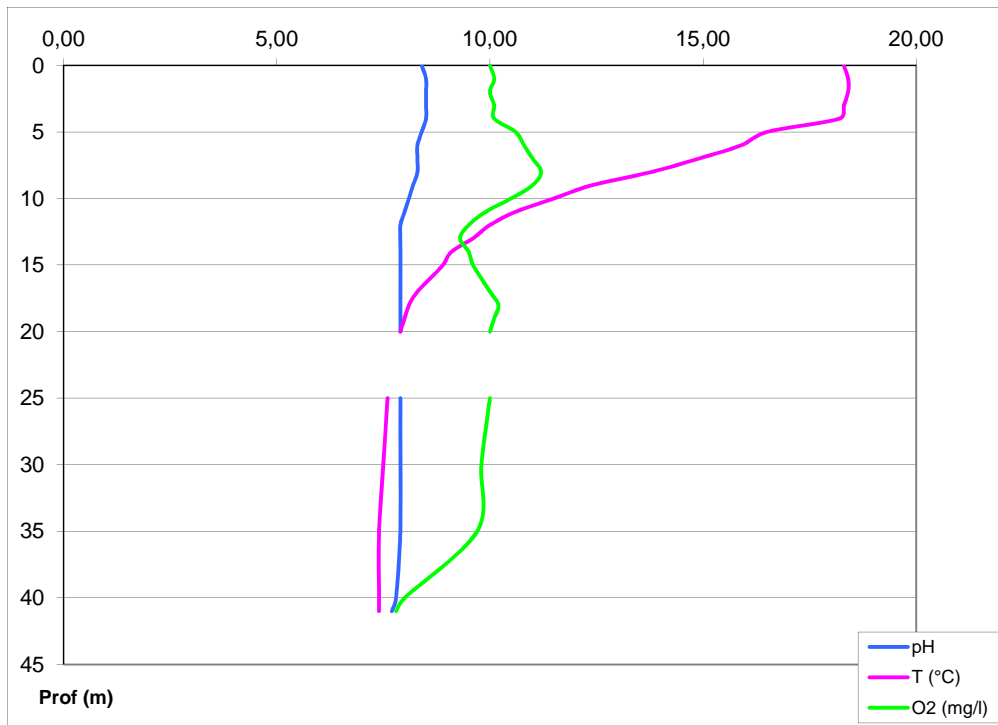
STATION					
Coordonnées de la station	relevées sur :	GPS			
Lambert 93 (système français)	(en m)	X	Y	Altitude (m) :	166,0
		1234917	6155118		
WGS 84 (système international)	données GPS (en dms)	N	E	Altitude (m) :	166,0
		42°17'54,3"	009°28'59,2"		
Profondeur (m) :	42				
Conditions d'observation :	Instensité du vent :	moyen			
	météo :	temps sec fortement nuageux			
	Surface de l'eau :	faiblement agitée			
	Hauteur des vagues :	0,1			m
	Bloom algal :	non			
Marnage :	non	niveau des eaux par rapport à la végétation de ceinture (pour les plans d'eau marnant) :		0	m
Remarques :	Hauteur des vagues : 0 m (lorsque le champs hauteur des vagues est vide cela signifie que la valeur est égale à 0)				

PRELEVEMENTS					
Heure début de relevé :	9:15		Heure de fin de relevé :	12:00	
Prélèvements réalisés :	<input checked="" type="checkbox"/> phytoplancton <input checked="" type="checkbox"/> chlorophylle <input checked="" type="checkbox"/> eau <input type="checkbox"/> sédiment <input type="checkbox"/> macrophytes <input type="checkbox"/> oligochètes <input type="checkbox"/> autres, préciser :		Matériel employé :	<input type="checkbox"/> bouteille intégratrice <input checked="" type="checkbox"/> bouteille Van Dorn <input type="checkbox"/> pompe	
			Volume filtré pour la chlorophylle (ml) :	1000	
			Volume de Lugol ajouté pour le phytoplancton (ml) :	5	
Remarques, observations :	<p>Retenue pleine</p> <p>Prélèvement intégré pour le phytoplancton et la chlorophylle : technique du tuyau</p> <p>Prélèvement intégré physico-chimie et micropolluants : bouteille type Niskin - 6 prélèvements ponctuels</p> <p>Prélèvement de fond : bouteille type Niskin - effectué à 40 m</p> <p>Dépôt des échantillons chez le transporteur TNT de Bastia à 15h00</p>				

Plan d'eau :	ALESANI	Date :	15/05/2013
Station ou n° d'échantillon :	Point de plus grande profondeur	Code lac :	Y9205023
Organisme / opérateur :	AQUASCOP / Antoine Robé - V.Bouchareychas	Réf. dossier :	8049

TRANSPARENCE			
Secchi en m :	11,7	Zone euphotique (2,5 x Secchi) en m :	29,25

PROFIL VERTICAL								
Moyen utilisé :	mesures in-situ à chaque prof.							
Echantillon phytoplancton ?	Prof (m)	Temp (°C)	pH	Conductivité à 25°C (µS.cm ⁻¹)	O ₂ (%)	O ₂ (mg/l)	Chlorophylle µg/l	Heure
<input checked="" type="checkbox"/>	Intégré de 0 à .. 29,25	12,3	8,11	300,0	95,7	10,3		10:15
<input type="checkbox"/>	0	18,3	8,40	322,0	106,9	10,0		9:15
<input type="checkbox"/>	1	18,4	8,50	322,0	107,2	10,1		9:36
<input type="checkbox"/>	2	18,4	8,50	321,0	107,0	10,0		9:37
<input type="checkbox"/>	3	18,3	8,50	322,0	107,6	10,1		9:38
<input type="checkbox"/>	4	18,2	8,50	322,0	106,9	10,1		9:40
<input type="checkbox"/>	5	16,5	8,40	317,0	108,5	10,6		9:42
<input type="checkbox"/>	6	15,9	8,30	314,0	108,9	10,8		9:43
<input type="checkbox"/>	7	14,9	8,30	306,0	109,5	11,0		9:44
<input type="checkbox"/>	8	13,8	8,30	299,0	108,1	11,2		9:45
<input type="checkbox"/>	9	12,4	8,20	286,0	102,6	11,0		9:46
<input type="checkbox"/>	10	11,5	8,10	280,0	96,4	10,5		9:47
<input type="checkbox"/>	11	10,6	8,00	275,0	89,3	9,9		9:48
<input type="checkbox"/>	12	10,0	7,90	275,0	83,9	9,5		9:49
<input type="checkbox"/>	13	9,6	7,90	275,0	81,7	9,3		9:50
<input type="checkbox"/>	14	9,1	7,90	277,0	82,2	9,5		9:51
<input type="checkbox"/>	15	8,9	7,90	278,0	82,9	9,6		9:52
<input type="checkbox"/>	16	8,6	7,90	281,0	84,0	9,8		9:53
<input type="checkbox"/>	17	8,3	7,90	284,0	84,7	10,0		9:55
<input type="checkbox"/>	18	8,1	7,90	286,0	86,5	10,2		9:57
<input type="checkbox"/>	19	8,0	7,90	291,0	86,2	10,1		9:57
<input type="checkbox"/>	20	7,9	7,90	292,0	84,3	10,0		9:58
<input type="checkbox"/>	21							
<input type="checkbox"/>	22							
<input type="checkbox"/>	23							
<input type="checkbox"/>	24							
<input type="checkbox"/>	25							
<input type="checkbox"/>	26							
<input type="checkbox"/>	27							
<input type="checkbox"/>	28							
<input type="checkbox"/>	29							
<input type="checkbox"/>	30							
<input type="checkbox"/>	31							
<input type="checkbox"/>	32							
<input type="checkbox"/>	33							
<input type="checkbox"/>	34							
<input type="checkbox"/>	35							
<input type="checkbox"/>	36							
<input type="checkbox"/>	37							
<input type="checkbox"/>	38							
<input type="checkbox"/>	39							
<input type="checkbox"/>	40							
<input type="checkbox"/>	41							
<input type="checkbox"/>	42							
<input type="checkbox"/>	43							
<input type="checkbox"/>	44							
<input type="checkbox"/>	45							
<input type="checkbox"/>	46							
<input type="checkbox"/>	47							
Echantillon phytoplancton ?	Prof (m)	Temp (°C)	pH	Conductivité à 25°C (µS.cm ⁻¹)	O ₂ (%)	O ₂ (mg/l)	Chlorophylle µg/l	Heure
<input type="checkbox"/>	25	7,6	7,90	303,0	83,6	10,0		10:00

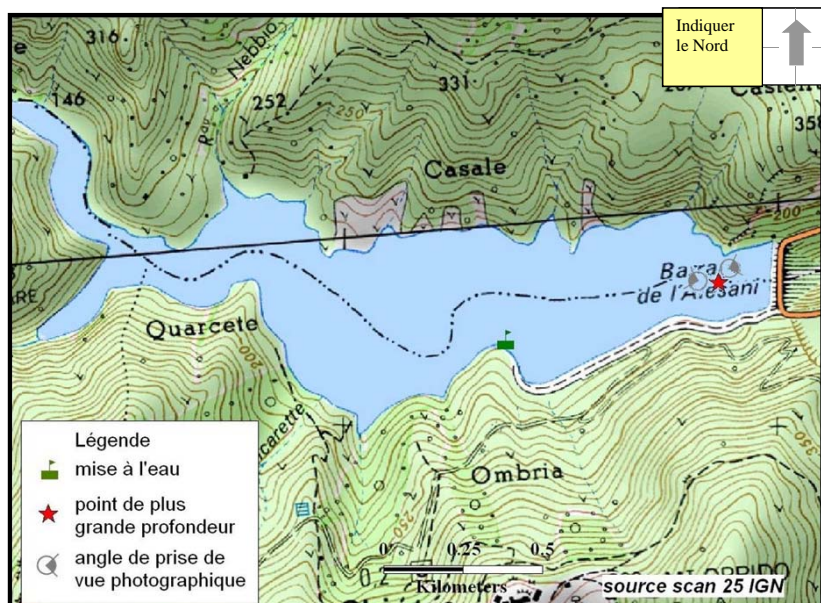


Plan d'eau :	ALESANI	Date :	10/07/2013
Nom station :	Point de plus grande profondeur	Code station :	Y9205023
Organisme / opérateur :	AQUASCOF / A. Corbarieu - A. Caro	Réf. dossier :	8049

LOCALISATION PLAN D'EAU

Commune :	Chiatra Di Verde		
Plan d'eau marnant :	oui	Superficie du bassin versant :	km ²
HER :	16 - Corse	Superficie du plan d'eau :	0,47 km ²
Profondeur maximale :	60 m	Profondeur moyenne :	m

Carte :
 (extrait IGN 1/25 000 éme)



LOCALISATION STATION

Coordonnées du point :	relevées sur :	GPS		
Lambert 93 (système français) :	(en m)	X	Y	Altitude
		1234942	6155135	153
WGS 84 (système international) :	données GPS (en dms)	N	E	Altitude (m)
		42°17'54,3"	009°29'03,4"	153
Profondeur :	32	m		

Photos du site :
 (indiquer l'angle de prise de vue sur la carte)



Remarques et observations : Travaux sur le barrage en rive droite
 Très fort marnage (environ 16 m)
 Côte plan d'eau = 154 m

Plan d'eau :	ALESANI	Date :	10/07/2013
Station ou n° d'échantillon :	Point de plus grande profondeur	Code lac :	Y9205023
Organisme / opérateur :	AQUASCOP / A.Corbarieu - A.Caro	Réf. dossier :	8049

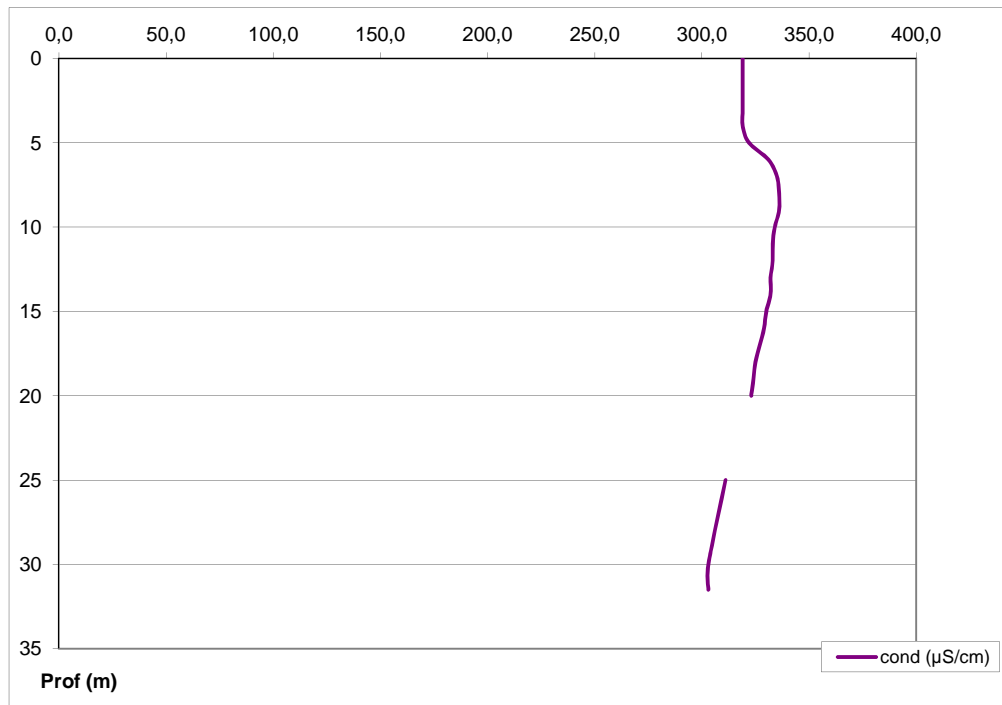
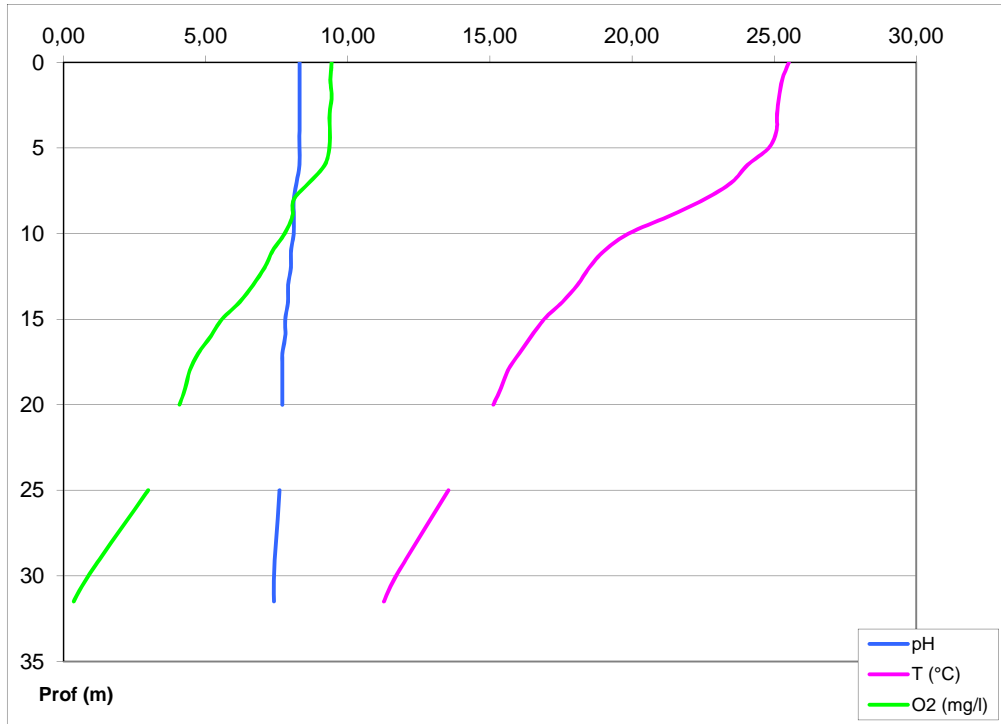
STATION					
Coordonnées de la station	relevées sur :	GPS			
Lambert 93 (système français)	(en m)	X	Y	Altitude (m) :	153,0
		1234942	6155135		
WGS 84 (système international)	données GPS (en dms)	N	E	Altitude (m) :	153,0
		42°17'54,3"	009°29'0,34"		
Profondeur (m) :	32				
Conditions d'observation :	Instensité du vent :	faible			
	météo :	temps sec ensoleillé			
	Surface de l'eau :	faiblement agitée			
	Hauteur des vagues :	0,05			m
	Bloom algal :	non			
Marnage :	oui	niveau des eaux par rapport à la végétation de ceinture (pour les plans d'eau marnant) :		16	m
Remarques :	Travaux sur le barrage en RD (marteau piqueur en berge mais pas d influence)				

PRELEVEMENTS			
Heure début de relevé :	9:45	Heure de fin de relevé :	11:00
Prélèvements réalisés :	<input checked="" type="checkbox"/> phytoplancton <input checked="" type="checkbox"/> chlorophylle <input checked="" type="checkbox"/> eau <input type="checkbox"/> sédiment <input type="checkbox"/> macrophytes <input type="checkbox"/> oligochètes <input type="checkbox"/> autres, préciser :	Matériel employé :	<input type="checkbox"/> bouteille intégratrice <input checked="" type="checkbox"/> bouteille Van Dorn <input type="checkbox"/> pompe
		Volume filtré pour la chlorophylle (ml) :	1000
		Volume de Lugol ajouté pour le phytoplancton (ml) :	Formol 37 % : 5
Remarques, observations :	Dépôt chez le transporteur TNT à Bastia à 16h00 le 10/07/2013 Prélèvement intégré pour le phytoplancton et la chlorophylle : technique du tuyau Prélèvement intégré physico-chimie et micropolluants : bouteille type Niskin - 6 prélèvements ponctuels Prélèvement de fond : bouteille type Niskin - effectué à 30 m		

Plan d'eau :	ALESANI	Date :	10/07/2013
Station ou n° d'échantillon :	Point de plus grande profondeur	Code lac :	Y9205023
Organisme / opérateur :	AQUASCOP / A.Corbarieu - A.Caro	Réf. dossier :	8049

TRANSPARENCE			
Secchi en m :	7	Zone euphotique (2,5 x Secchi) en m :	17,5

PROFIL VERTICAL								
Moyen utilisé :	mesures in-situ à chaque prof.							
Echantillon phytoplancton ?	Prof (m)	Temp (°C)	pH	Conductivité à 25°C (µS.cm ⁻¹)	O ₂ (%)	O ₂ (mg/l)	Chlorophylle µg/l	Heure
<input checked="" type="checkbox"/>	Intégré de 0 à .. 17,5							
<input type="checkbox"/>	0	25,5	8,30	319,0	114,3	9,4		9:59
<input type="checkbox"/>	1	25,3	8,30	319,0	113,2	9,4		10:01
<input type="checkbox"/>	2	25,2	8,30	319,0	113,6	9,4		10:02
<input type="checkbox"/>	3	25,1	8,30	319,0	112,6	9,4		10:03
<input type="checkbox"/>	4	25,1	8,30	319,0	112,6	9,4		10:04
<input type="checkbox"/>	5	24,8	8,30	322,0	111,8	9,4		10:13
<input type="checkbox"/>	6	24,1	8,30	331,0	108,4	9,2		10:14
<input type="checkbox"/>	7	23,5	8,20	335,0	101,0	8,7		10:16
<input type="checkbox"/>	8	22,6	8,10	336,0	92,9	8,1		10:18
<input type="checkbox"/>	9	21,3	8,10	336,0	90,1	8,1		10:19
<input type="checkbox"/>	10	19,9	8,10	334,0	84,7	7,8		10:21
<input type="checkbox"/>	11	19,0	8,00	333,0	78,7	7,4		10:23
<input type="checkbox"/>	12	18,5	8,00	333,0	74,8	7,1		10:23
<input type="checkbox"/>	13	18,1	7,90	332,0	70,0	6,7		10:26
<input type="checkbox"/>	14	17,6	7,90	332,0	64,4	6,2		10:27
<input type="checkbox"/>	15	16,9	7,80	330,0	57,2	5,6		10:28
<input type="checkbox"/>	16	16,5	7,80	329,0	52,6	5,2		10:29
<input type="checkbox"/>	17	16,0	7,70	327,0	47,7	4,7		10:32
<input type="checkbox"/>	18	15,6	7,70	325,0	44,3	4,4		10:33
<input type="checkbox"/>	19	15,4	7,70	324,0	42,6	4,3		10:34
<input type="checkbox"/>	20	15,1	7,70	323,0	40,2	4,1		10:35
<input type="checkbox"/>	21							
<input type="checkbox"/>	22							
<input type="checkbox"/>	23							
<input type="checkbox"/>	24							
<input type="checkbox"/>	25							
<input type="checkbox"/>	26							
<input type="checkbox"/>	27							
<input type="checkbox"/>	28							
<input type="checkbox"/>	29							
<input type="checkbox"/>	30							
<input type="checkbox"/>	31							
<input type="checkbox"/>	32							
<input type="checkbox"/>	33							
<input type="checkbox"/>	34							
<input type="checkbox"/>	35							
<input type="checkbox"/>	36							
<input type="checkbox"/>	37							
<input type="checkbox"/>	38							
<input type="checkbox"/>	39							
<input type="checkbox"/>	40							
<input type="checkbox"/>	41							
<input type="checkbox"/>	42							
<input type="checkbox"/>	43							
<input type="checkbox"/>	44							
<input type="checkbox"/>	45							
<input type="checkbox"/>	46							
<input type="checkbox"/>	47							
Echantillon phytoplancton ?	Prof (m)	Temp (°C)	pH	Conductivité à 25°C (µS.cm ⁻¹)	O ₂ (%)	O ₂ (mg/l)	Chlorophylle µg/l	Heure
<input type="checkbox"/>	25	13,5	7,60	311,0	28,4	3,0		10:37



Plan d'eau :	ALESANI	Date :	19/09/2013
Nom station :	Point de plus grande profondeur	Code station :	Y9205023
Organisme / opérateur :	AQUASCOP / A. Robé - H. Tophile	Réf. dossier :	8049

LOCALISATION PLAN D'EAU

Commune :	Chiatra Di Verde		
Plan d'eau marnant :	oui	Superficie du bassin versant :	km ²
HER :	16 - Corse	Superficie du plan d'eau :	0,47 km ²
Profondeur maximale :	60 m	Profondeur moyenne :	m

Carte :
(extrait IGN 1/25 000 éme)

Indiquer le Nord ↑

Légende
 ■ mise à l'eau
 ★ point de plus grande profondeur
 ⊗ angle de prise de vue photographique

source scan 25 IGN

LOCALISATION STATION

Coordonnées du point :	relevées sur :	GPS		
Lambert 93 (système français) :	(en m)	X	Y	Altitude
		1234885	6155141	138
WGS 84 (système international) :	données GPS (en dms)	N	E	Altitude (m)
		42°17'55,0"	009°28'58,0"	138
Profondeur :	15 m			

Photos du site :
(indiquer l'angle de prise de vue sur la carte)

Remarques et observations : Travaux sur le barrage et les vannes de fond
 Niveau des eaux très bas

Plan d'eau :	ALESANI	Date :	19/09/2013
Station ou n° d'échantillon :	Point de plus grande profondeur	Code lac :	Y9205023
Organisme / opérateur :	AQUASCOP / A. Robé - H. Tophile	Réf. dossier :	8049

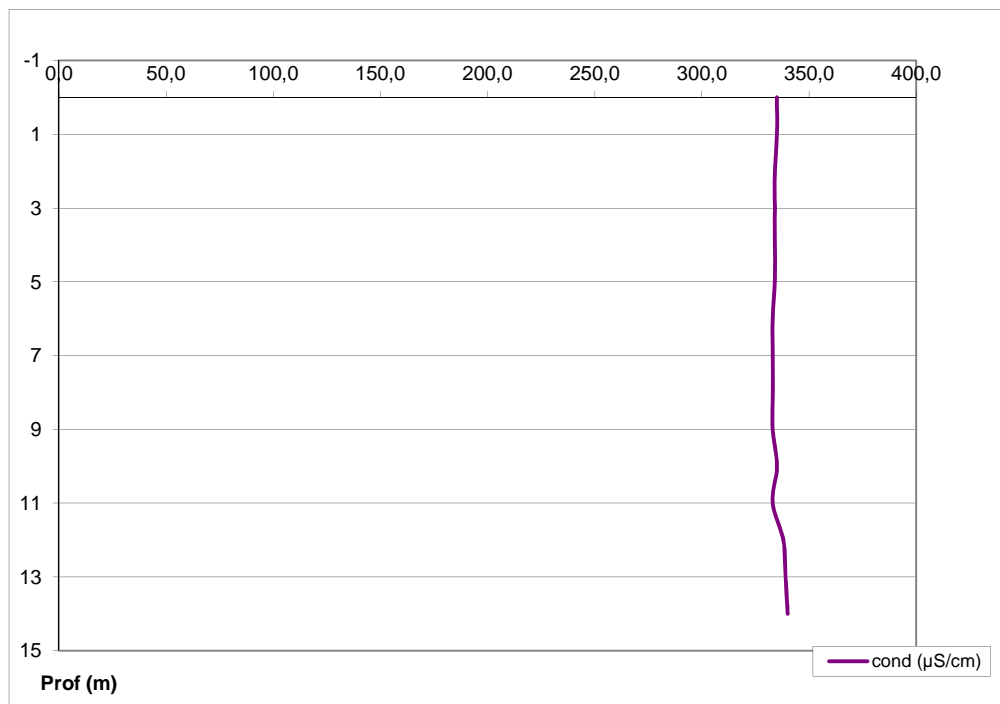
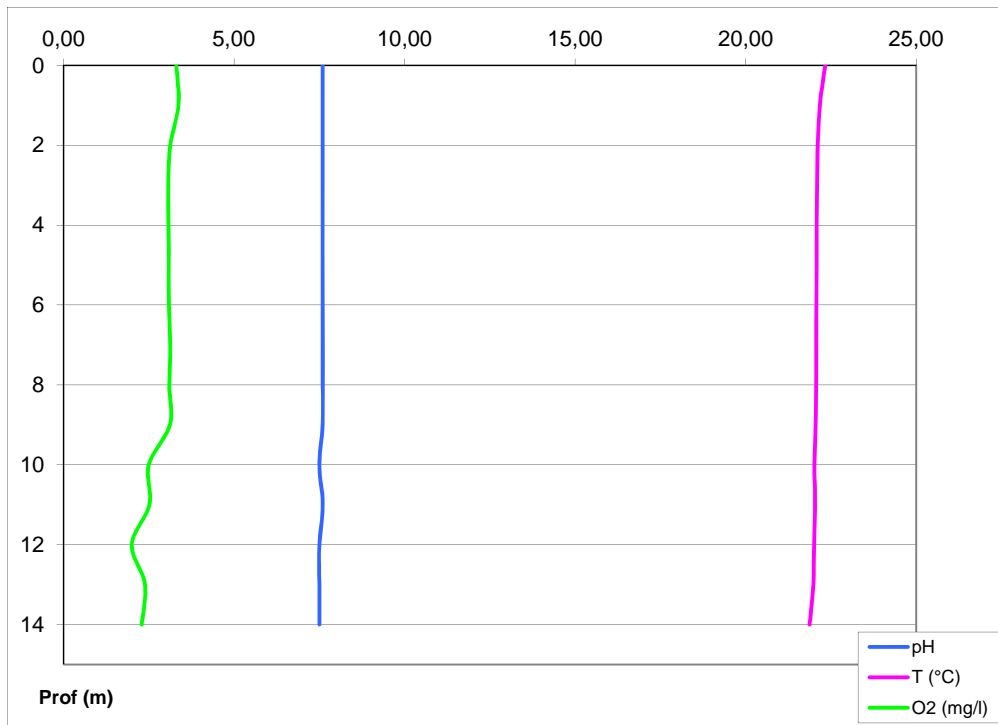
STATION					
Coordonnées de la station	relevées sur :	GPS			
Lambert 93 (système français)	(en m)	X	Y	Altitude (m) :	138,0
		1234885	6155141		
WGS 84 (système international)	données GPS (en dms)	N	E	Altitude (m) :	138,0
		42°17'55,0"	009°28'58,0"		
Profondeur (m) :	15				
Conditions d'observation :	Instensité du vent :	nul			
	météo :	temps sec ensoleillé			
	Surface de l'eau :	lisse			
	Hauteur des vagues :	m			
	Bloom algal :	non			
Marnage :	oui	niveau des eaux par rapport à la végétation de ceinture (pour les plans d'eau marnant) :	30	m	
Remarques :	Hauteur des vagues : 0 m (lorsque le champs hauteur des vagues est vide cela signifie que la valeur est égale à 0) Travaux sur le barrage et sur les vannes de fond Niveaux des eaux très bas				

PRELEVEMENTS				
Heure début de relevé :	10:10	Heure de fin de relevé :	13:00	
Prélèvements réalisés :	<input checked="" type="checkbox"/> phytoplancton <input checked="" type="checkbox"/> chlorophylle <input checked="" type="checkbox"/> eau	Matériel employé :	<input checked="" type="checkbox"/> bouteille intégratrice <input type="checkbox"/> bouteille Van Dorn <input type="checkbox"/> pompe	
	<input checked="" type="checkbox"/> sédiment <input type="checkbox"/> macrophytes <input type="checkbox"/> oligochètes <input type="checkbox"/> autres, préciser :		Volume filtré pour la chlorophylle (ml) :	750
			Volume de Lugol ajouté pour le phytoplancton (ml) :	5
Remarques, observations :	Prélèvement intégré pour le phytoplancton et la chlorophylle : technique du tuyau Prélèvement intégré physico-chimie et micropolluants : bouteille type Niskin - 6 prélèvements ponctuels Prélèvement de fond : bouteille type Niskin - effectué à 13 m Dépôt Chronopost Bastia à 15h00 et TNT Bastai à 14h30			

Plan d'eau :	ALESANI	Date :	19/09/2013
Station ou n° d'échantillon :	Point de plus grande profondeur	Code lac :	Y9205023
Organisme / opérateur :	AQUASCOP / A. Robé - H. Tuphile	Réf. dossier :	8049

TRANSPARENCE			
Secchi en m :	1,5	Zone euphotique (2,5 x Secchi) en m :	3,75

PROFIL VERTICAL								
Moyen utilisé :	mesures in-situ à chaque prof.							
Echantillon phytoplancton ?	Prof (m)	Temp (°C)	pH	Conductivité à 25°C (µS.cm ⁻¹)	O ₂ (%)	O ₂ (mg/l)	Chlorophylle µg/l	Heure
<input checked="" type="checkbox"/>	Intégré de 0 à .. 3,75							
<input type="checkbox"/>	0	22,3	7,60	335,0	38,4	3,3		10:02
<input type="checkbox"/>	1	22,2	7,60	335,0	39,0	3,4		10:03
<input type="checkbox"/>	2	22,1	7,60	334,0	36,2	3,1		10:04
<input type="checkbox"/>	3	22,1	7,60	334,0	35,5	3,1		10:05
<input type="checkbox"/>	4	22,1	7,60	334,0	35,6	3,1		10:07
<input type="checkbox"/>	5	22,1	7,60	334,0	35,6	3,1		10:08
<input type="checkbox"/>	6	22,1	7,60	333,0	35,7	3,1		10:10
<input type="checkbox"/>	7	22,1	7,60	333,0	36,2	3,1		10:11
<input type="checkbox"/>	8	22,1	7,60	333,0	35,9	3,1		10:14
<input type="checkbox"/>	9	22,1	7,60	333,0	36,0	3,1		10:17
<input type="checkbox"/>	10	22,0	7,50	335,0	28,9	2,5		10:19
<input type="checkbox"/>	11	22,0	7,60	333,0	29,1	2,5		10:19
<input type="checkbox"/>	12	22,0	7,50	338,0	23,1	2,0		10:21
<input type="checkbox"/>	13	22,0	7,50	339,0	27,5	2,4		10:22
<input type="checkbox"/>	14	21,9	7,50	340,0	26,4	2,3		10:24
<input type="checkbox"/>	15							
<input type="checkbox"/>	16							
<input type="checkbox"/>	17							
<input type="checkbox"/>	18							
<input type="checkbox"/>	19							
<input type="checkbox"/>	20							
<input type="checkbox"/>	21							
<input type="checkbox"/>	22							
<input type="checkbox"/>	23							
<input type="checkbox"/>	24							
<input type="checkbox"/>	25							
<input type="checkbox"/>	26							
<input type="checkbox"/>	27							
<input type="checkbox"/>	28							
<input type="checkbox"/>	29							
<input type="checkbox"/>	30							
<input type="checkbox"/>	31							
<input type="checkbox"/>	32							
<input type="checkbox"/>	33							
<input type="checkbox"/>	34							
<input type="checkbox"/>	35							
<input type="checkbox"/>	36							
<input type="checkbox"/>	37							
<input type="checkbox"/>	38							
<input type="checkbox"/>	39							
<input type="checkbox"/>	40							
<input type="checkbox"/>	41							
<input type="checkbox"/>	42							
<input type="checkbox"/>	43							
<input type="checkbox"/>	44							
<input type="checkbox"/>	45							
<input type="checkbox"/>	46							
<input type="checkbox"/>	47							
Echantillon phytoplancton ?	Prof (m)	Temp (°C)	pH	Conductivité à 25°C (µS.cm ⁻¹)	O ₂ (%)	O ₂ (mg/l)	Chlorophylle µg/l	Heure
<input type="checkbox"/>								



Prélèvement de sédiment en plan d'eau
DONNEES GENERALES CAMPAGNE

Plan d'eau :	ALESANI	Date :	19/09/2013
Station ou n° d'échantillon :	Point de plus grande profondeur	Code lac :	Y9205023
Organisme / opérateur :	AQUASCOP / A. Robé - H. Tophile	Réf. dossier :	8049

LOCALISATION DE LA ZONE DE PRELEVEMENT

Coordonnées de la station	relevées sur	GPS			
Lambert 93 (système français)	(en m)	X	Y	Altitude (m) :	138,0
		1234885	6155141		
WGS 84 (système international)	données GPS (en dms)	N	E	Altitude (m) :	138,0
		42°17'55,0"	009°28'58,0"		
Profondeur (m) :	15				

CONDITION DU MILIEU

Conditions d'observation :	Intensité du vent	nul			
	météo	temps sec ensoleillé			
	Surface de l'eau	lisse			
	Hauteur des vagues				m
	Bloom algal	non			
Marnage :	oui	niveau des eaux par rapport à la végétation de ceinture (pour les plans d'eau marnant) :	30	m	
Remarques :	Hauteur des vagues : 0 m (lorsque le champs hauteur des vagues est vide cela signifie que la valeur est égale à 0)				

PRELEVEMENTS

Heure début de relevé :	11:30
Heure de fin de relevé :	13:00
Prélèvements réalisés :	Sédiments
Matériel employé :	Benne Eckmann
Nombre de prélèvements :	3

CARACTERISTIQUES DE CHACUN DES PRELEVEMENTS

N° prélèvement		1	2	3	4
Profondeur :	en m	15	15	15	
	en cm	2	2	2	
Epaisseur échantillonnée :	récents (<2cm)	x	x	x	
	anciens (>2cm)				
	indéterminé				
Couleur :		Marron	Marron	Marron	
Odeur :		Non	Non	Non	
Granulométrie dominante :	graviers				
	sables				
	limons	x	x	x	
	vases argile				
Aspect du sédiment :	homogène	x	x	x	
	hétérogène				
Présence de débris végétaux :	oui	x	x	x	
	non				
Présence d'hydrocarbure :	oui				
	non	x	x	x	
Présence de tensio-actif :	oui				
	non	x	x	x	
Remarques, observations :	Dépôt des échantillons : Chronopost Bastia - 15h00				

5.4. INVERTEBRES - RAPPORT D'ESSAI



**Rapport d'essai
n° C193.05**

Client payeur :

Agence de l'Eau Rhône méditerranée et Corse, 2-4 allée de Lodz, 69363 LYON cedex 07

Client demandeur (mandataire) :

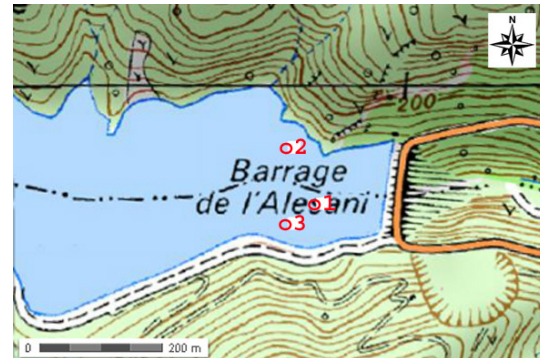
Aquascop, Agence de Montpellier, Domaine de Cécéles, 1520 route de Cécéles 34270 St Mathieu de Treviers

**Oligochètes en plan d'eau
Alesani (AS - Y9205023), avril 2013**



▲ Vue vers l'aval depuis la rive droite de la partie médiane de la retenue

Emplacement et date échantillons



Nom (code)	Centre (o1)	Latéral 1 (o2)	Latéral 2 (o3)
Date et Heure	03/04/13 09:30	03/04/13 10:00	03/04/13 10:30
Rive gauche	Zmax	Rive gauche	Rive droite
X (L93)	1234959	1234906	1234916
Y (L93)	6155114	6155202	6155079

Opérateurs

Phase travail	Date fin	Zmax
Terrain	03/04/2013	L.Faure*, J.Wuillot*
Laboratoire	12/05/2013	L.Faure*, J.Wuillot*
Bureau	05/11/2013	J.Wuillot*

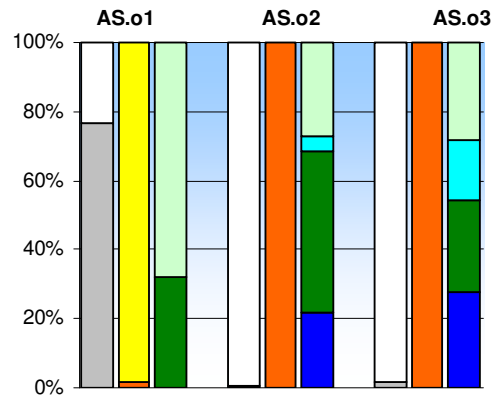
* Personnel permanent d'Iris consultants (code 515)

Type de masse d'eau (selon circulaire du 29/01/13)

A12 (retenue méditerranéenne de basse altitude sur socle cristallin, profonde)

Descriptif des échantillons

	AS.o1	AS.o2	AS.o3
Prélèvements			
Profondeur (m)	42,5	21	21
Type de benne	Ekman	Ponar	Ponar
Nombre de bennes	5	7	7
Surface prospectée (m ²)	0,105	0,182	0,182
Sédiments			
Couleur	kaki	kaki	kaki
Odeur	faible	faible	faible
Cohésion	moyen	faible	faible
Volume (ml) sans sédiments	4221	17865	17656
Volume (ml) avec sédiments	13650	56	264
Volume (ml) < 0,5 mm (fines)	13448	0	0
Volume (ml) > 0,5 mm (débris)	202	56	264
Volume (ml) 0,5 à 5 mm, organique	137	15	75
Volume (ml) 0,5 à 5 mm, minéral	0	3	45
Volume (ml) > 5 mm, organique	65	26	71
Volume (ml) > 5 mm, minéral	0	12	73



Remarques (conditions extérieures particulières, écart au protocole...)

Absence de fines dans les échantillons o2 et o3



**Rapport d'essai
n° C193.05**

Client payeur :

Agence de l'Eau Rhône méditerranée et Corse, 2-4 allée de Lodz, 69363 LYON cedex 07

Client demandeur (mandataire) :

Aquascop, Agence de Montpellier, Domaine de Cécéles, 1520 route de Cécéles 34270 St Mathieu de Treviers

Liste faunistique

Groupe	Taxon	Code Sandre	Identif.	Sensibilité	AS.o1	AS.o2	AS.o3
Naididae ASC	<i>Naididae ASC immat.</i>	5231	a		38		
	<i>Tubifex sp.</i>	945	m	D	1		
Naididae SSC	<i>Limnodrilus claparedeanus</i>	2992	m	P	25		
	<i>Limnodrilus profundicola</i>	2990	m	I	1		
	<i>Naididae SSC immat.</i>	29901	a		35		1

Nombre d'oligochètes comptés	100	0	1
Fraction observée de l'échantillon	16,4	100,0	100,0

Remarques :

- Identif. comporte les modalités "a" = taxon identifiable à tous les stades et "m" = taxon identifiable seulement au stade mature (présence des organes de reproduction)
- Sensibilité comporte les modalités "S" = espèces sensibles à la pollution organique et toxique, "I" = espèces caractérisant un état intermédiaire, "D" = espèces indicatrices d'une impasse trophique naturelle (dystrophie) quand elles sont dominantes, "P" = espèces indicatrices d'un état de forte pollution quand elles sont dominantes, "H" = espèces indicatrices d'échanges hydriques entre les eaux superficielles et souterraines et "R" = espèces probablement liées à un réchauffement climatique (source : Lafont 2007).
- Les valeurs d'abondance en caractère gras dans la liste faunistique correspondent aux taxons pris en compte pour le calcul de la richesse

Indicateurs et paramètres

	o1	o2	o3	Total		o1	o2	o3
Indice IOBL (selon Afnor NF T90-391)	11,3	0,0	1,9	6,1	Densité (valeur brute - log)	581 - 8,3	0 - 0	1 - 0,9
% Espèces sensibles (selon LAFONT 2007)	0	-	0	0	Biovol. / surface (valeur brute - log)	38,8 - 16,0	0 - 0	<0,04 - <0,2
Richesse taxon. (nb taxons min possible)	3	0	1	1,8	Biovol. / effectif (valeur brute)	66,9	-	< 78,5

Remarques :

- Total = ½ o1 + ¼ o2 + ¼ o3
- Densité exprimée par une valeur brute (effectif pour 0,1 m²) ou par un log selon la formule [3.log₁₀ (valeur brute + 1)]
- Biovolume par unité de surface exprimé par une valeur brute (cm³ d'oligochètes par m²) ou par un log selon la formule [10 . log₁₀ (valeur brute +1)]
- Biovolume par unité d'effectifs exprimé en cm³ d'oligochètes par 10000 individus (correspond à la taille moyenne des individus)